

Fig. 2

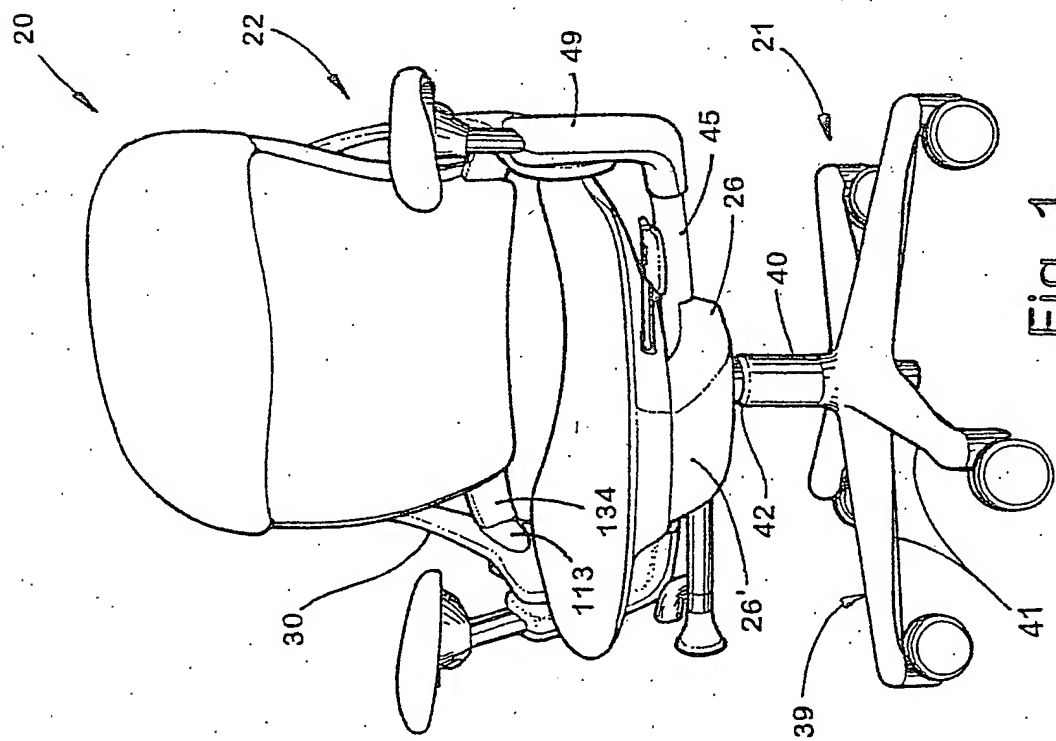


Fig. 1



Fig. 3

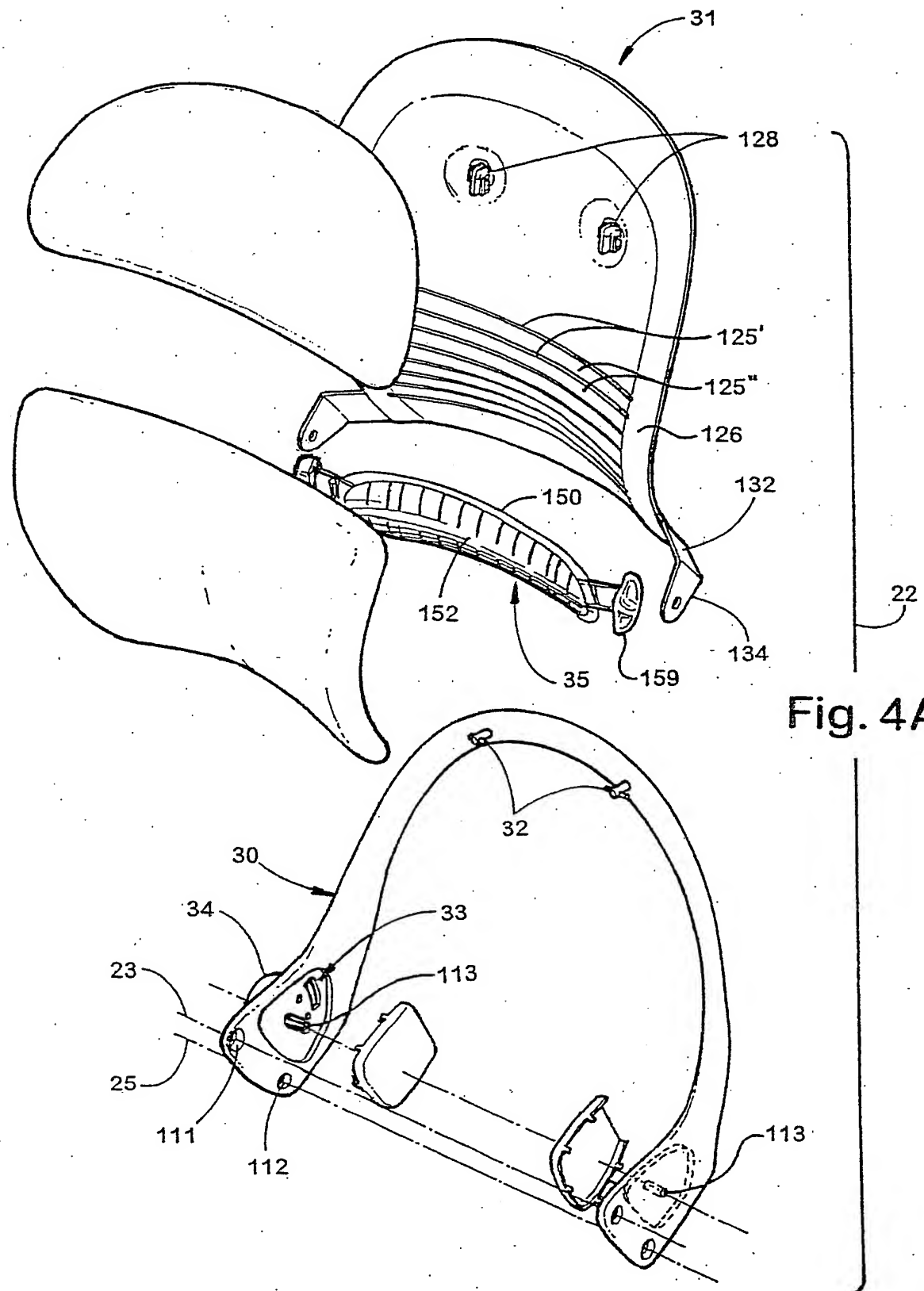
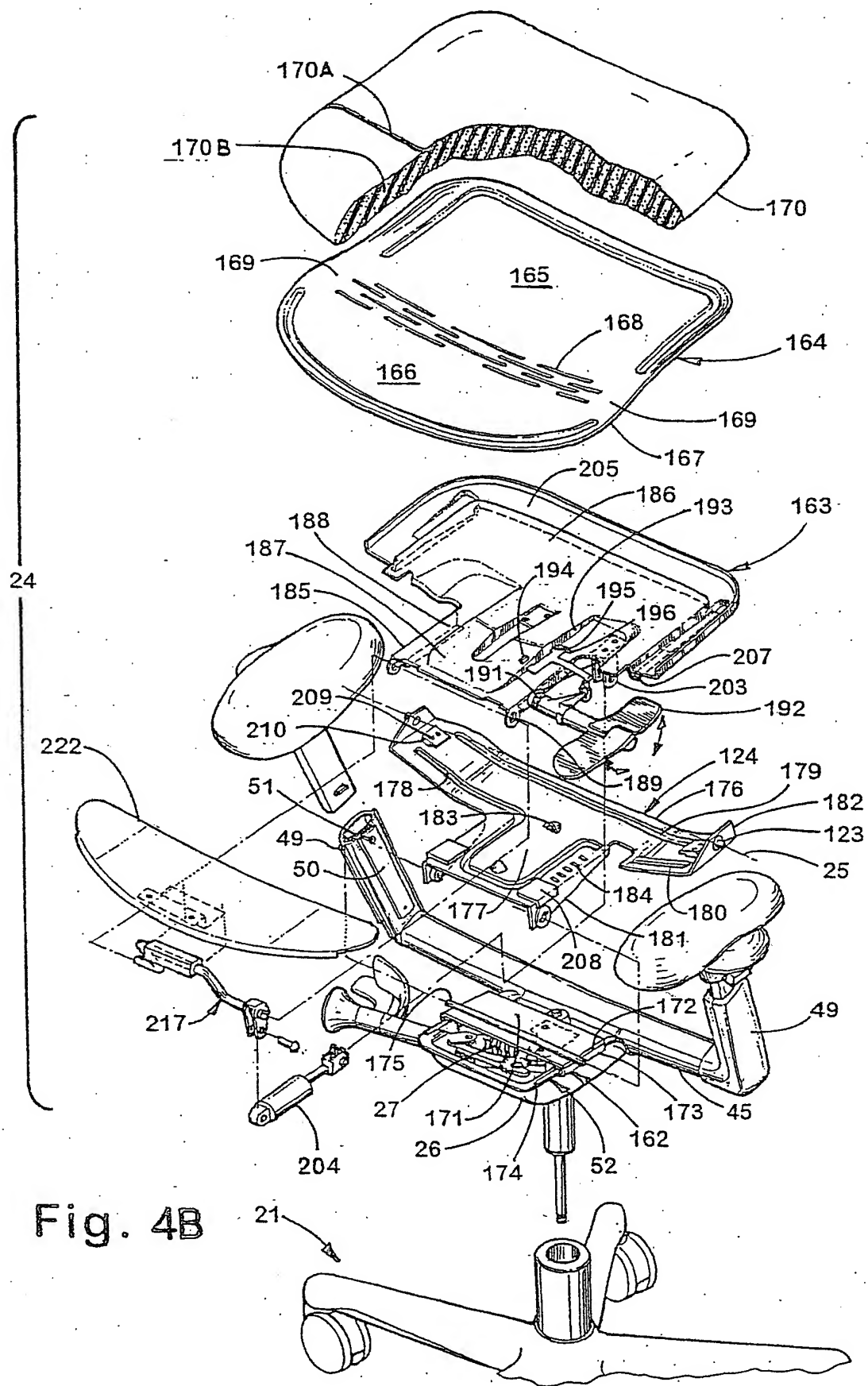


Fig. 4A



Applicants: Larry (NMI) DeKraker et al.  
For: CONTROL MECHANISM FOR SEATING UNITS  
Atty. Docket No.: STE01 P-915L  
Express Mail No.: EV310269395US  
Sheet 5 of 38

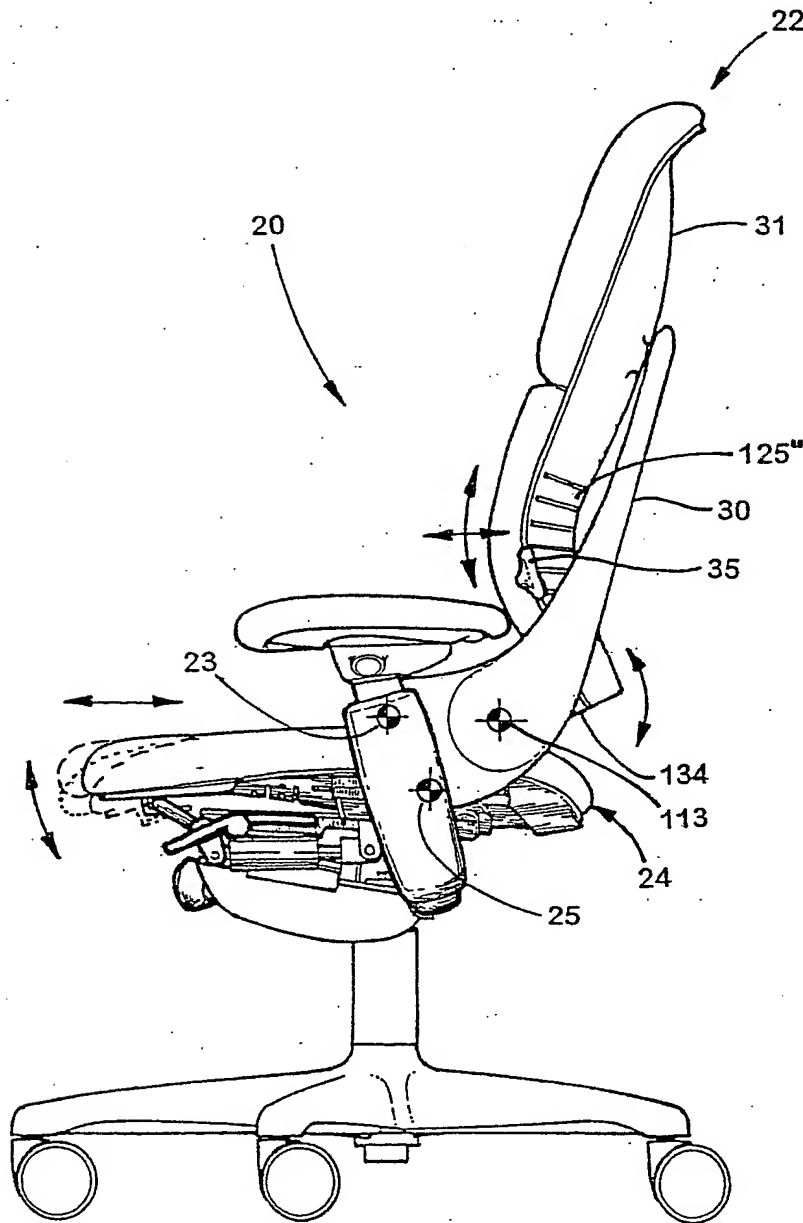


Fig. 5

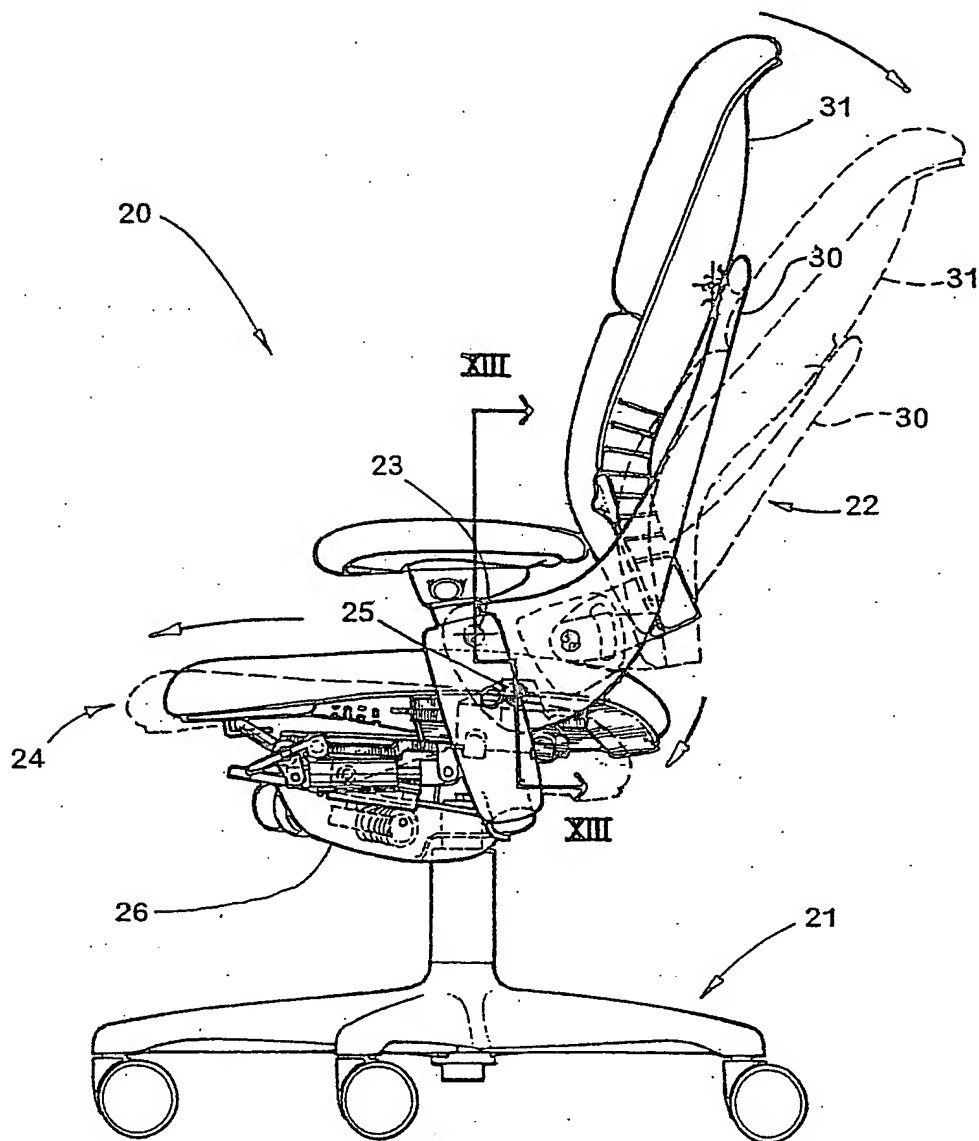


Fig. 6

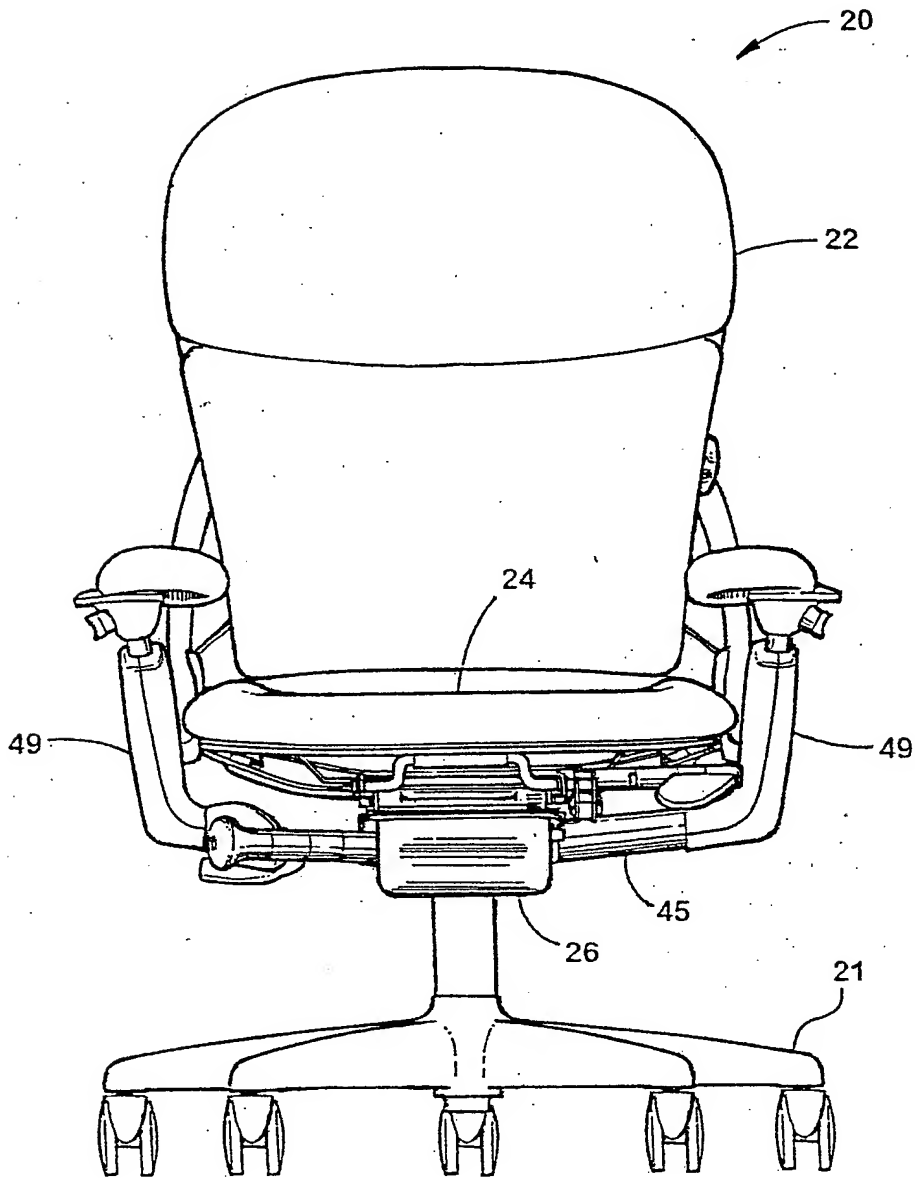


Fig. 7

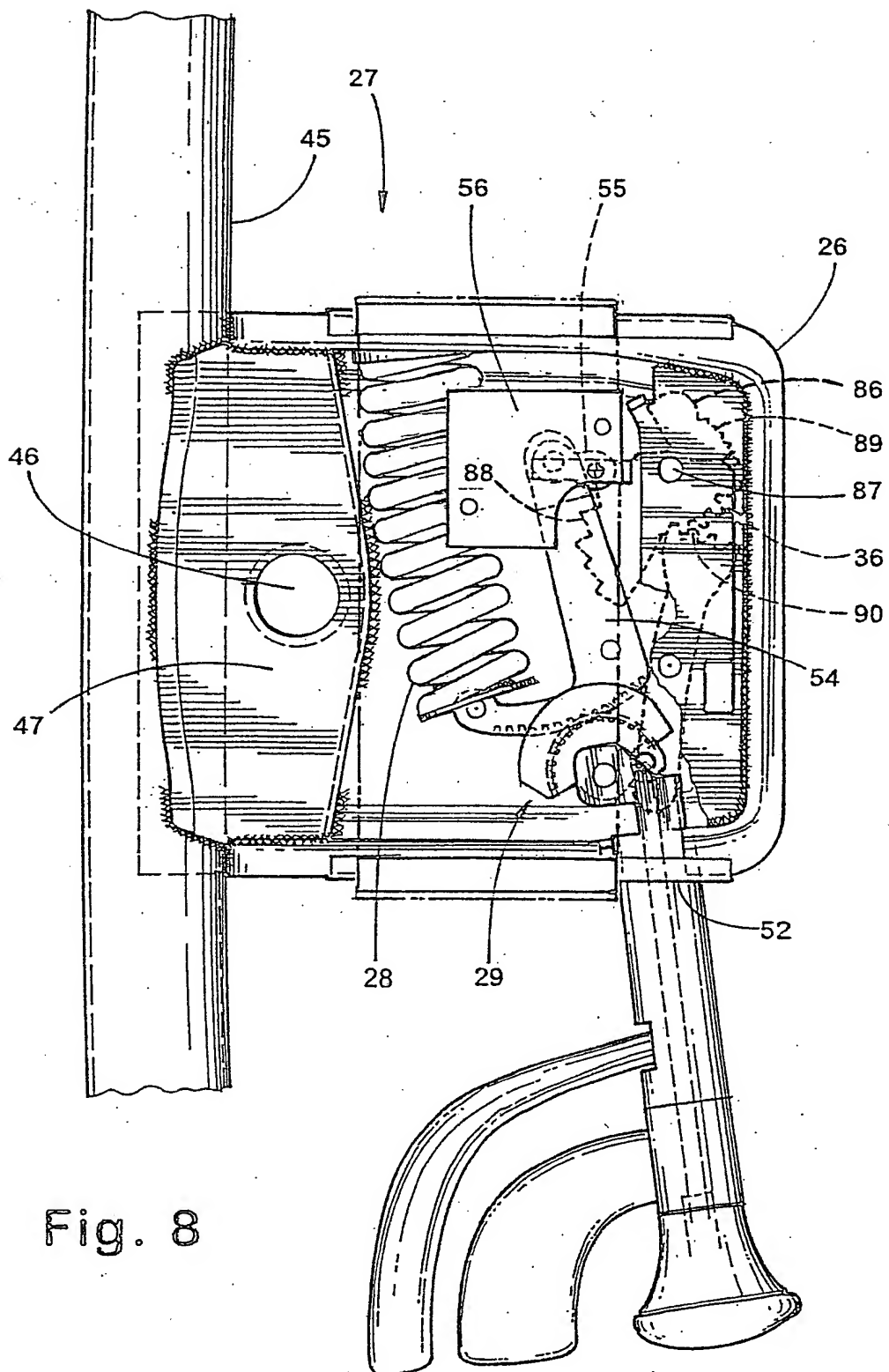


Fig. 8

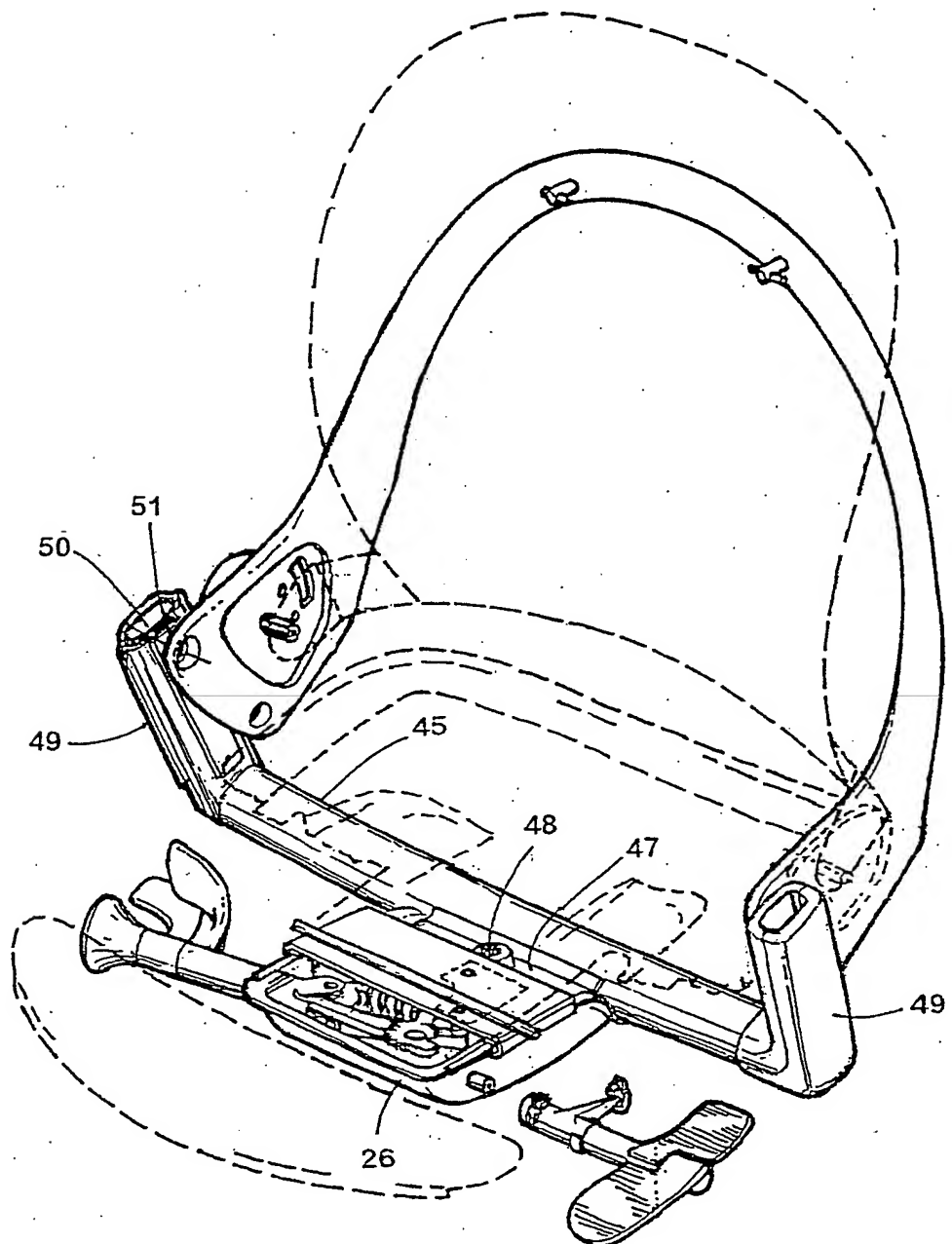


Fig. 8A

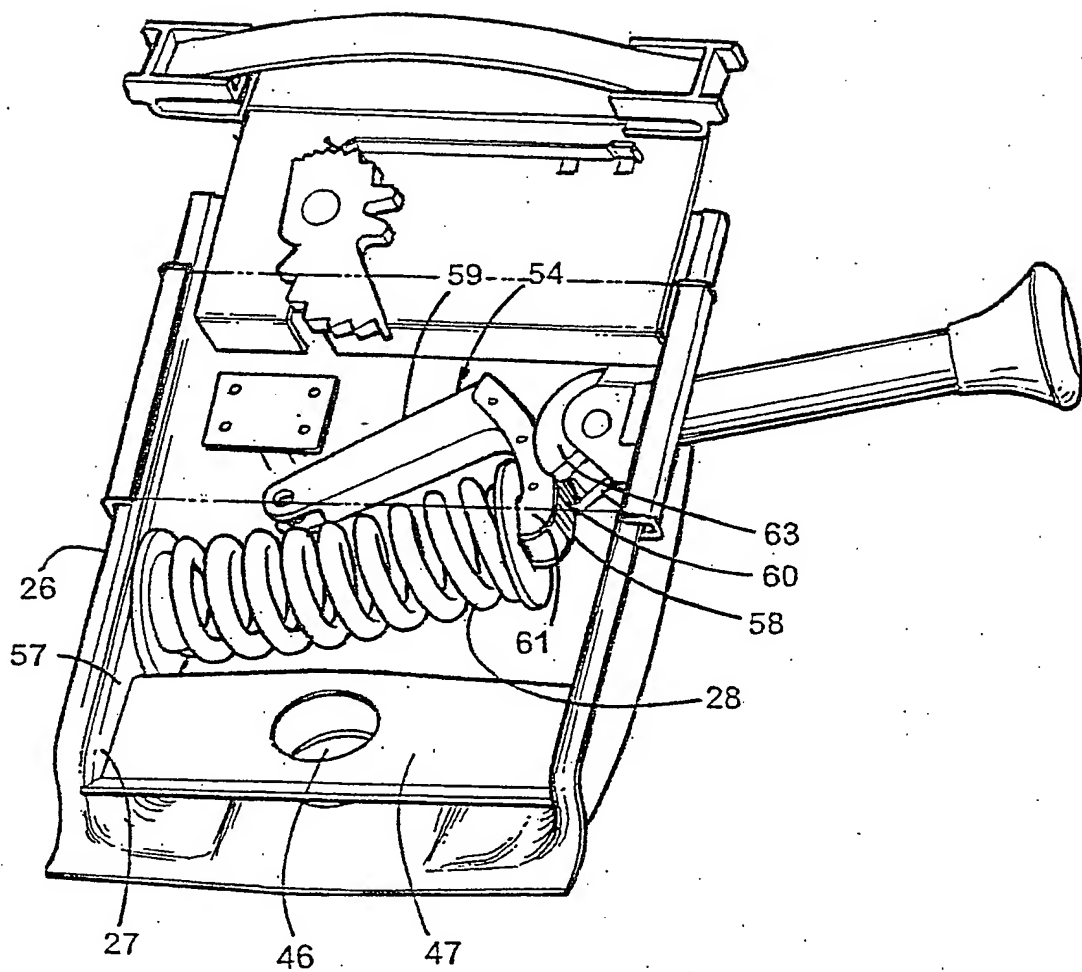


Fig. 9

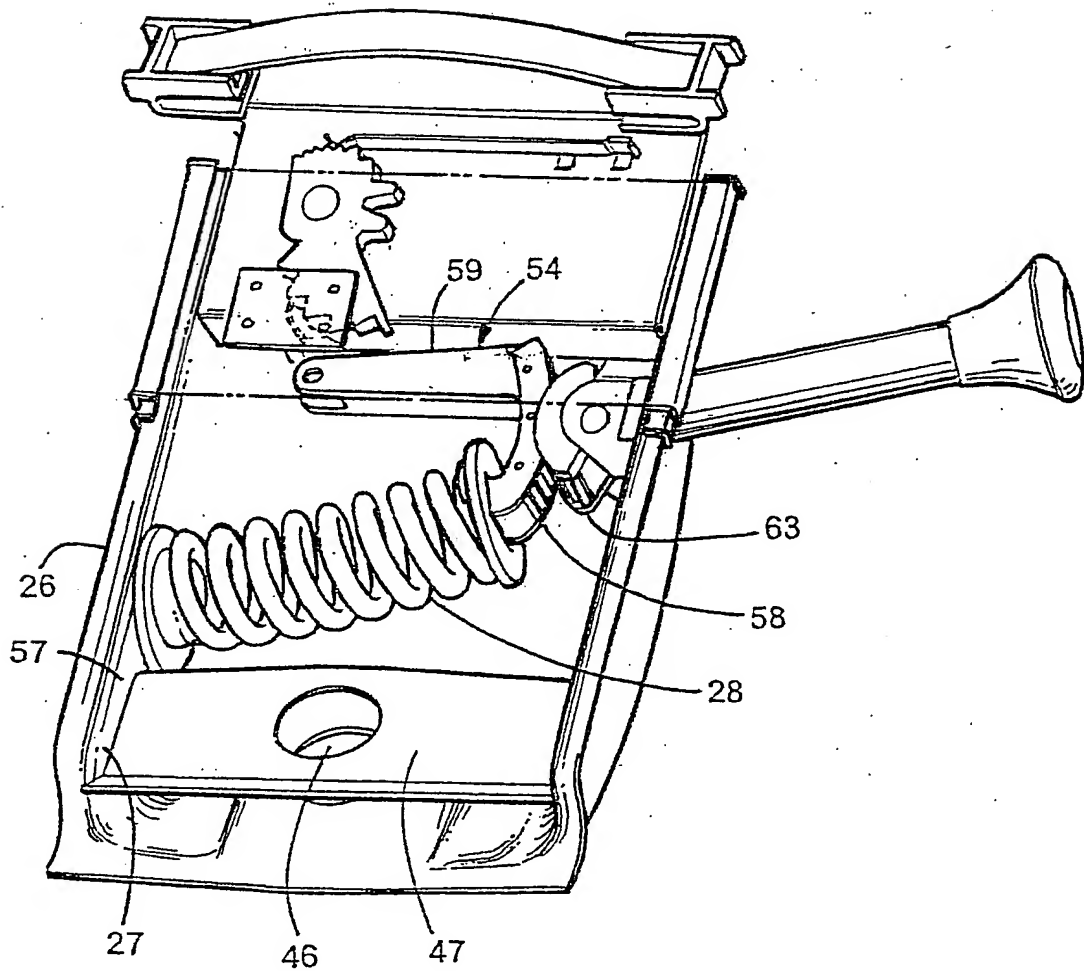


Fig. 9A

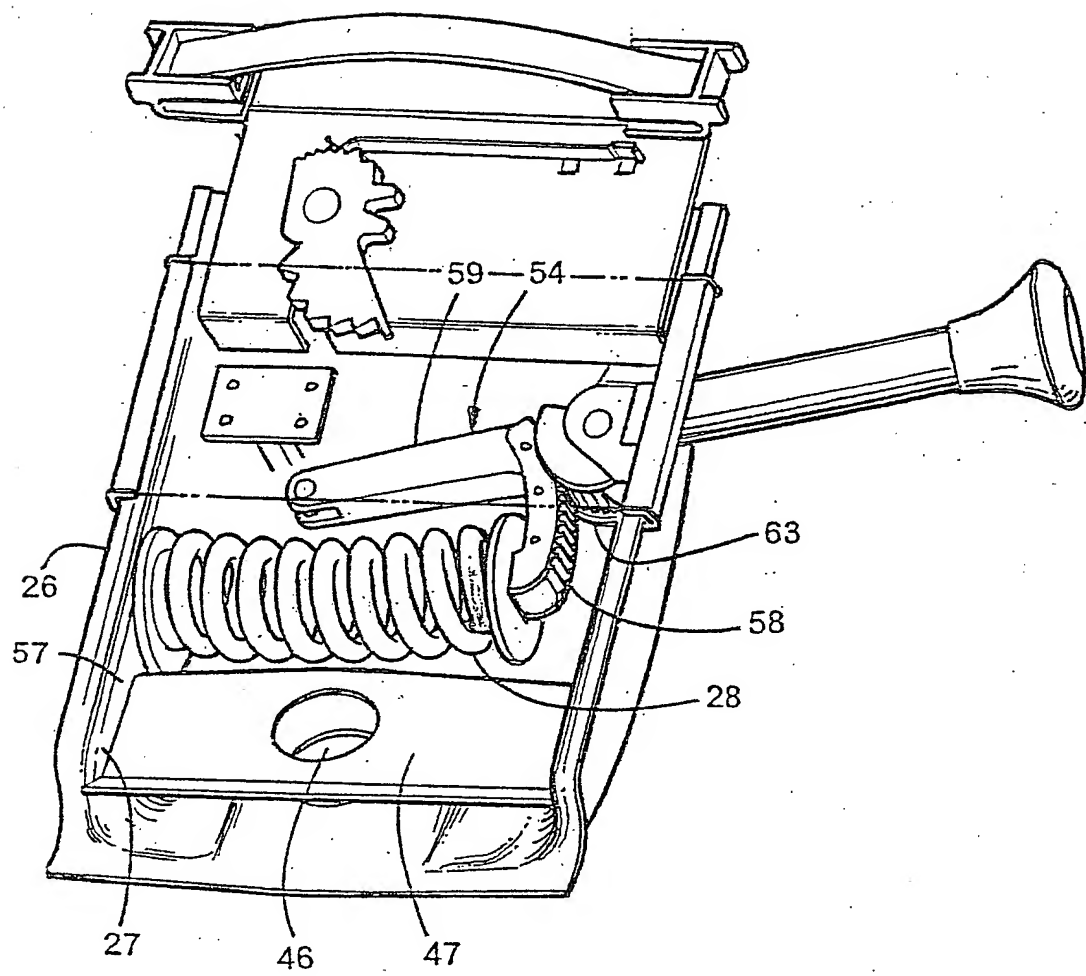


Fig. 9B

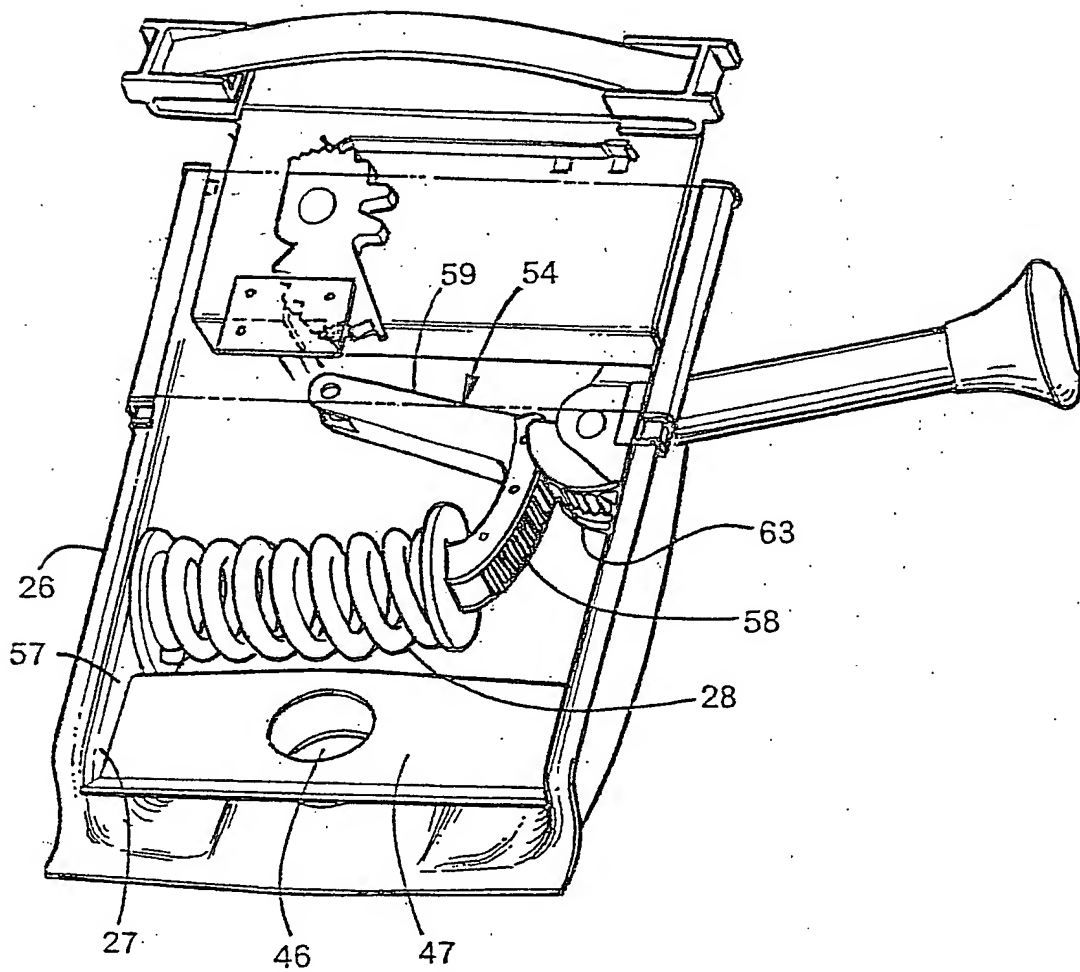
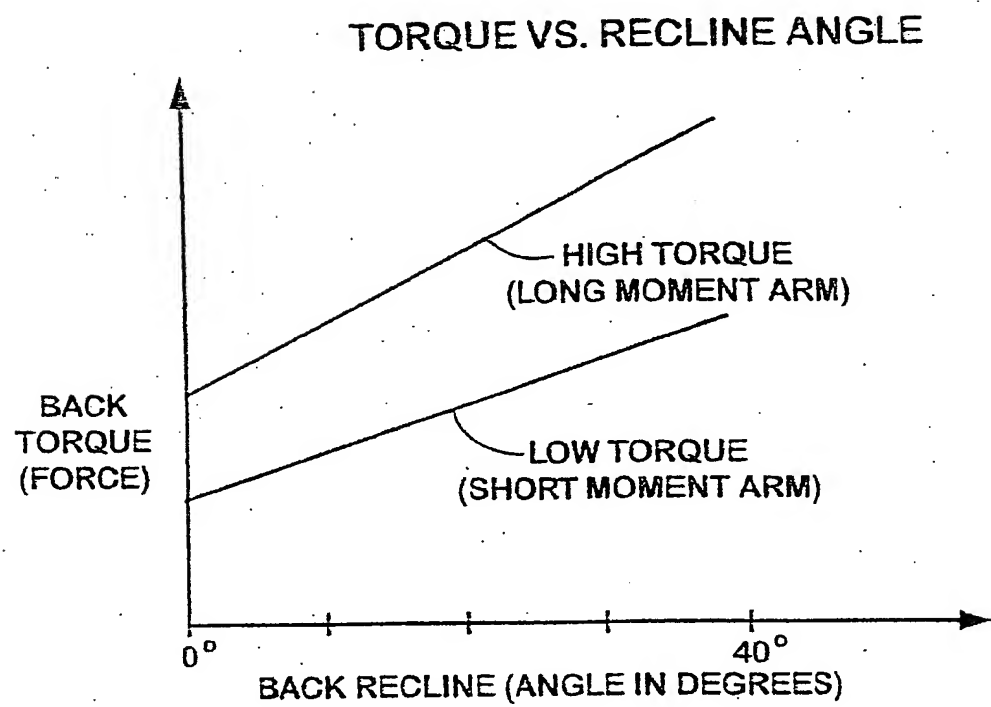
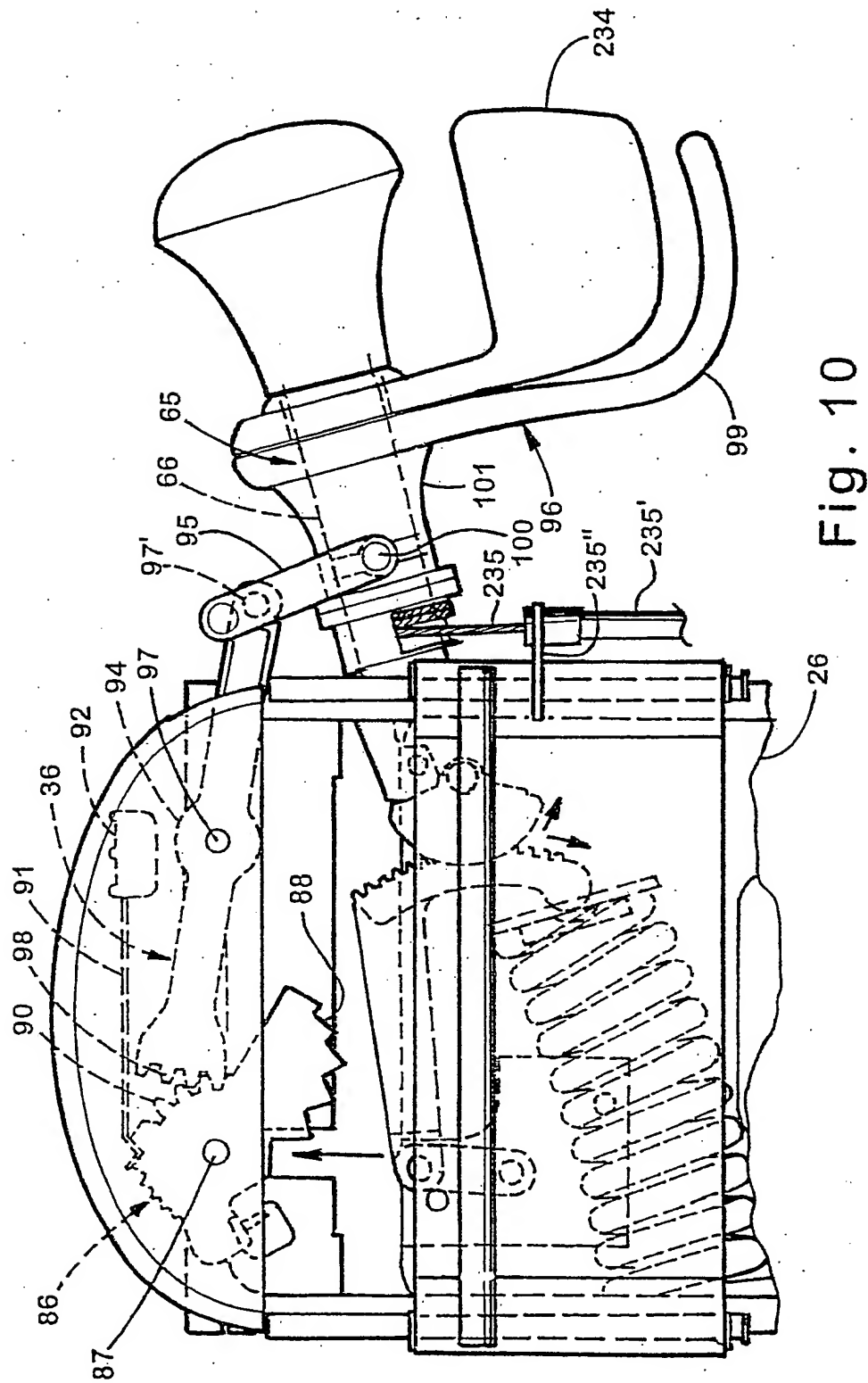
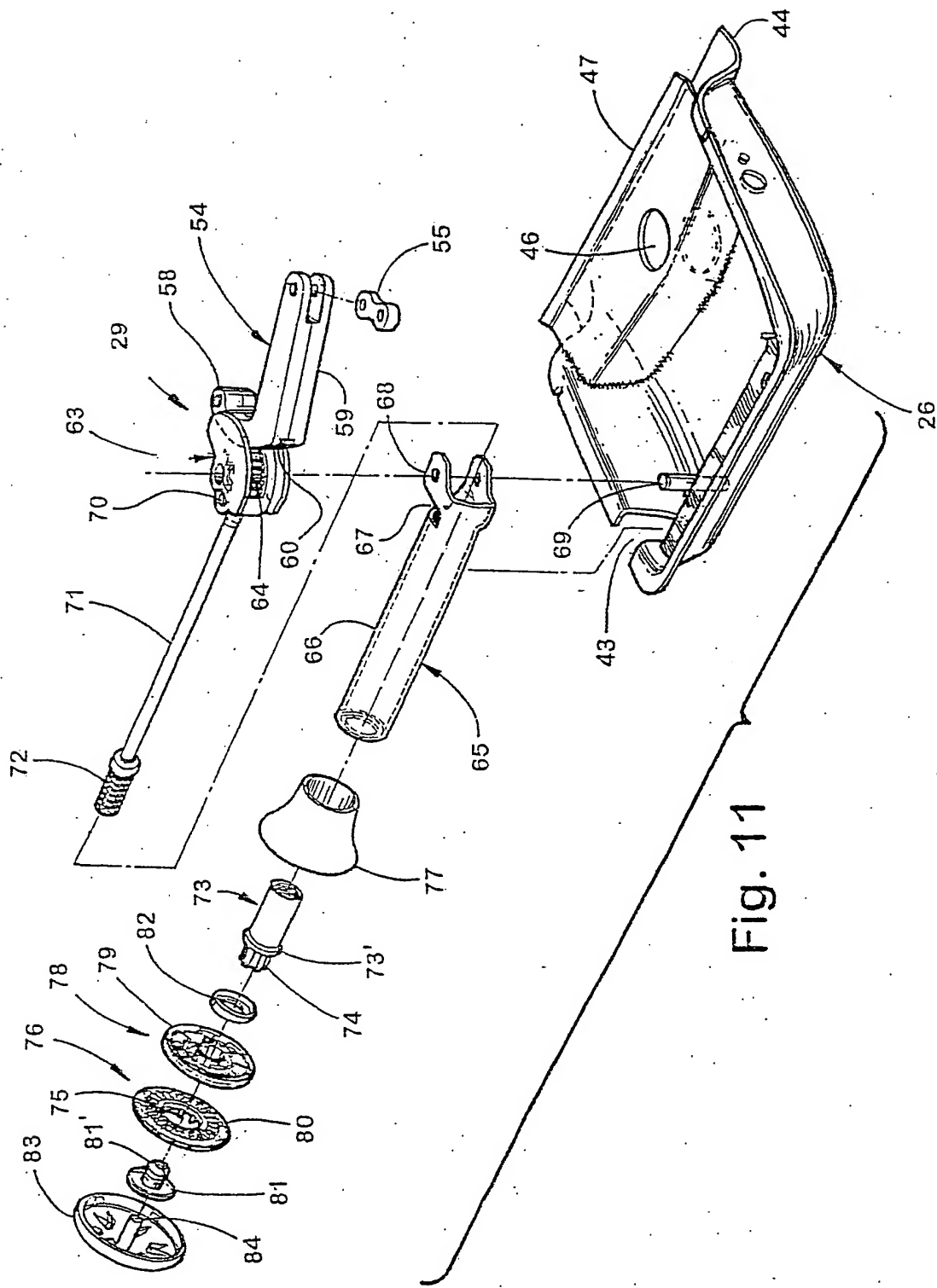


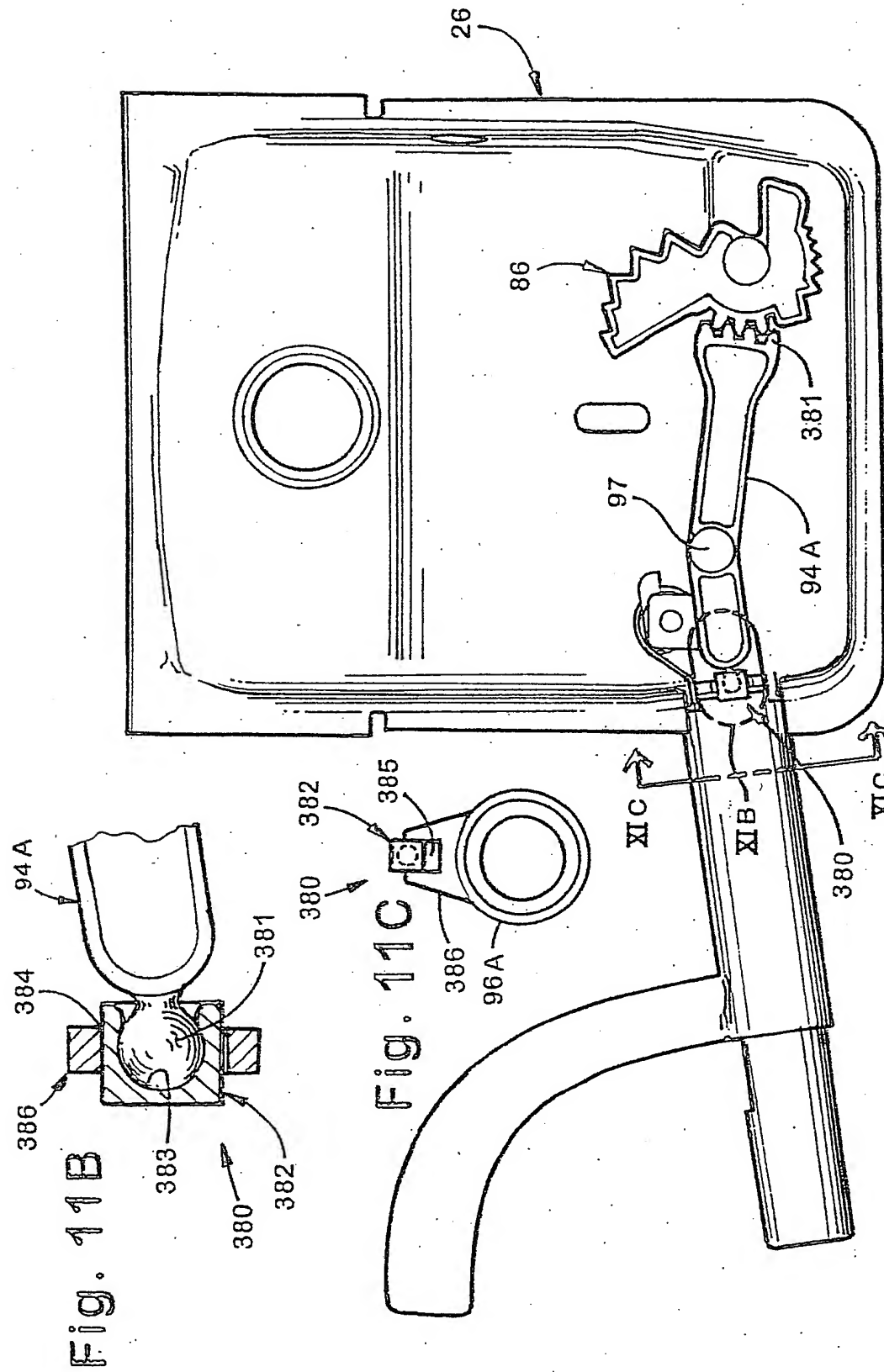
Fig. 9C



**Fig. 9D**







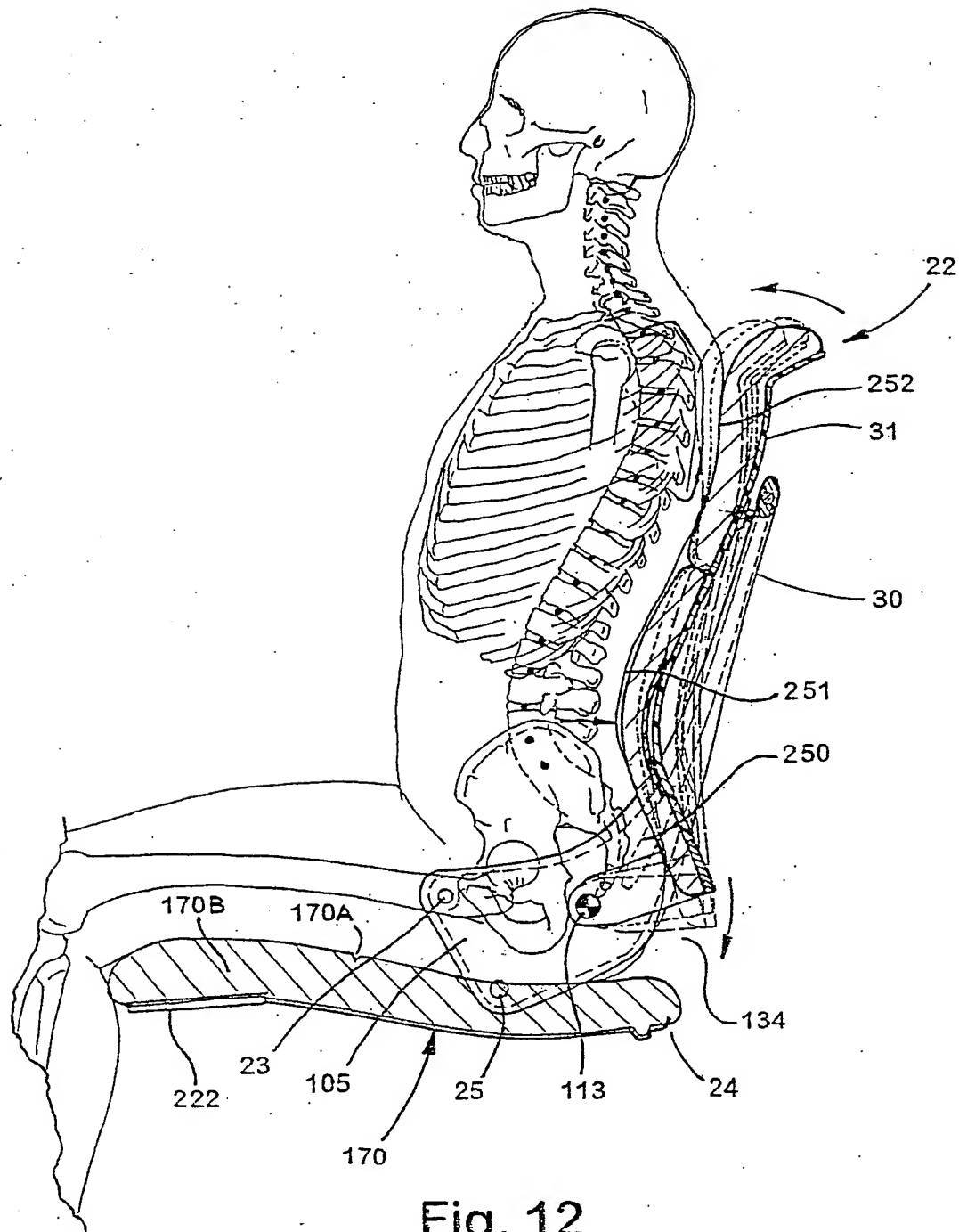
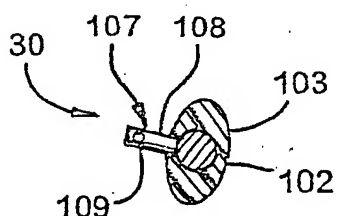
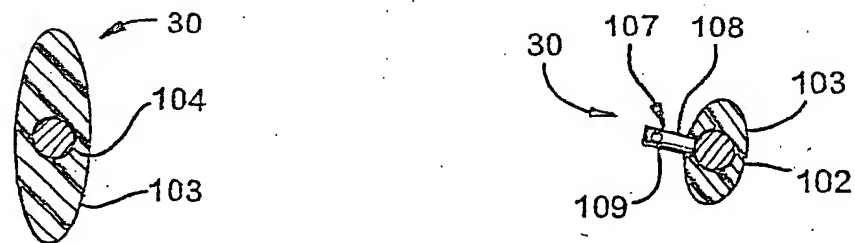
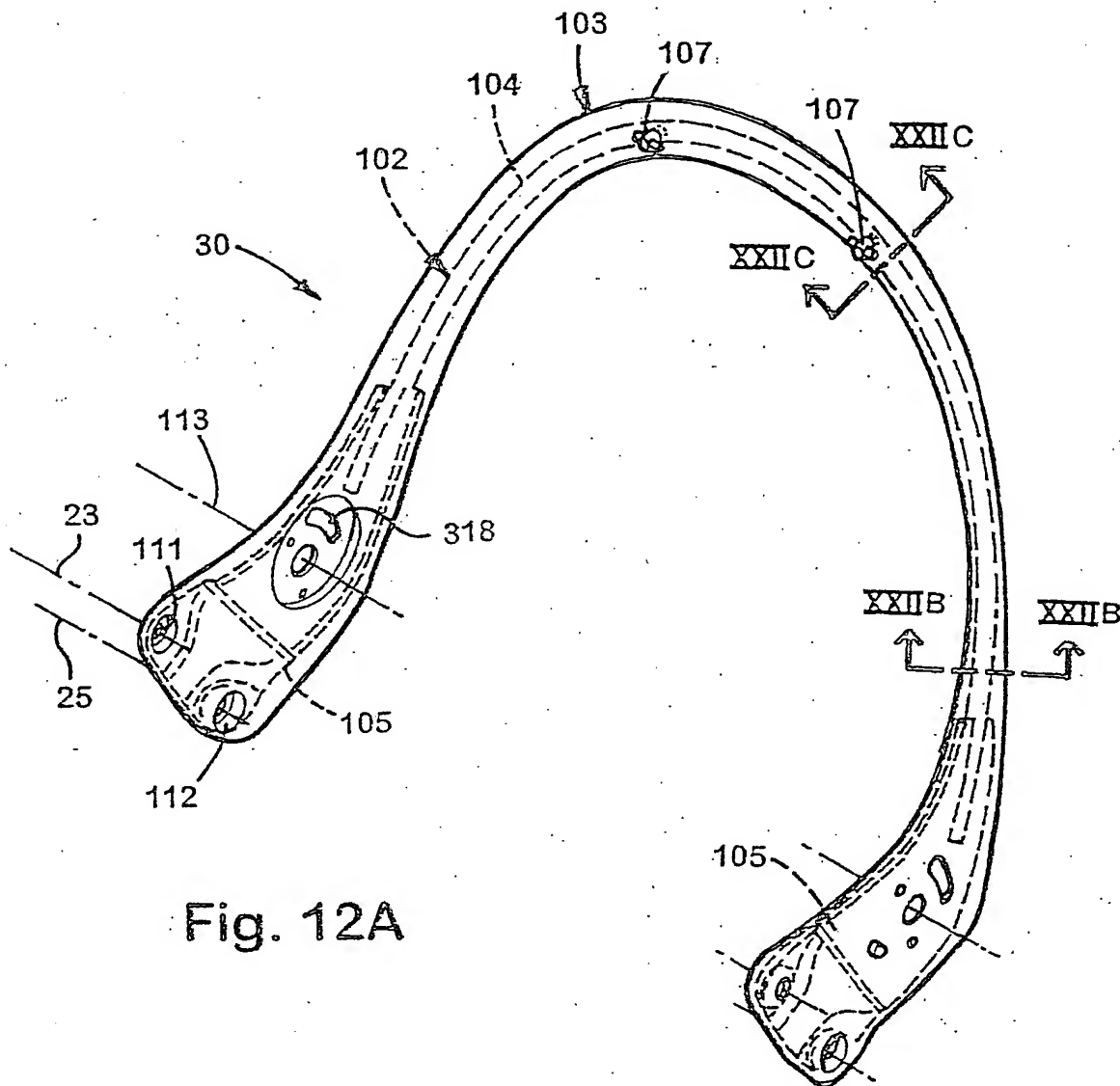


Fig. 12



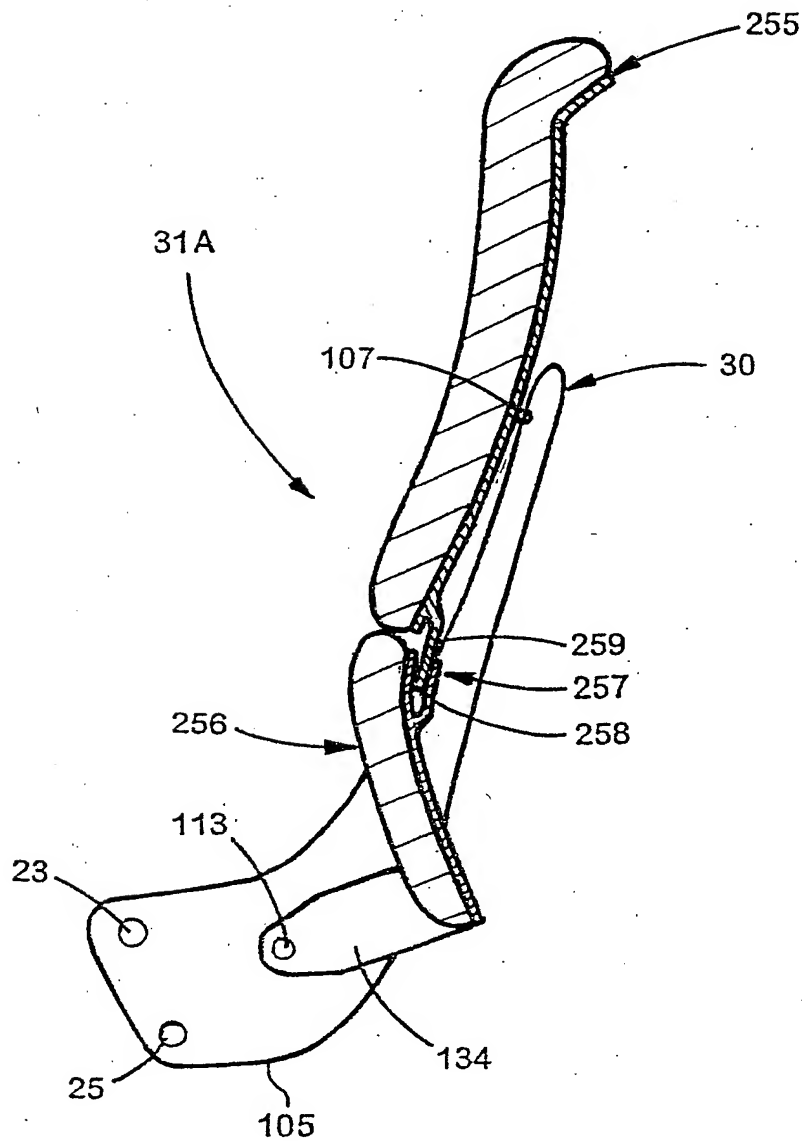


Fig. 12D

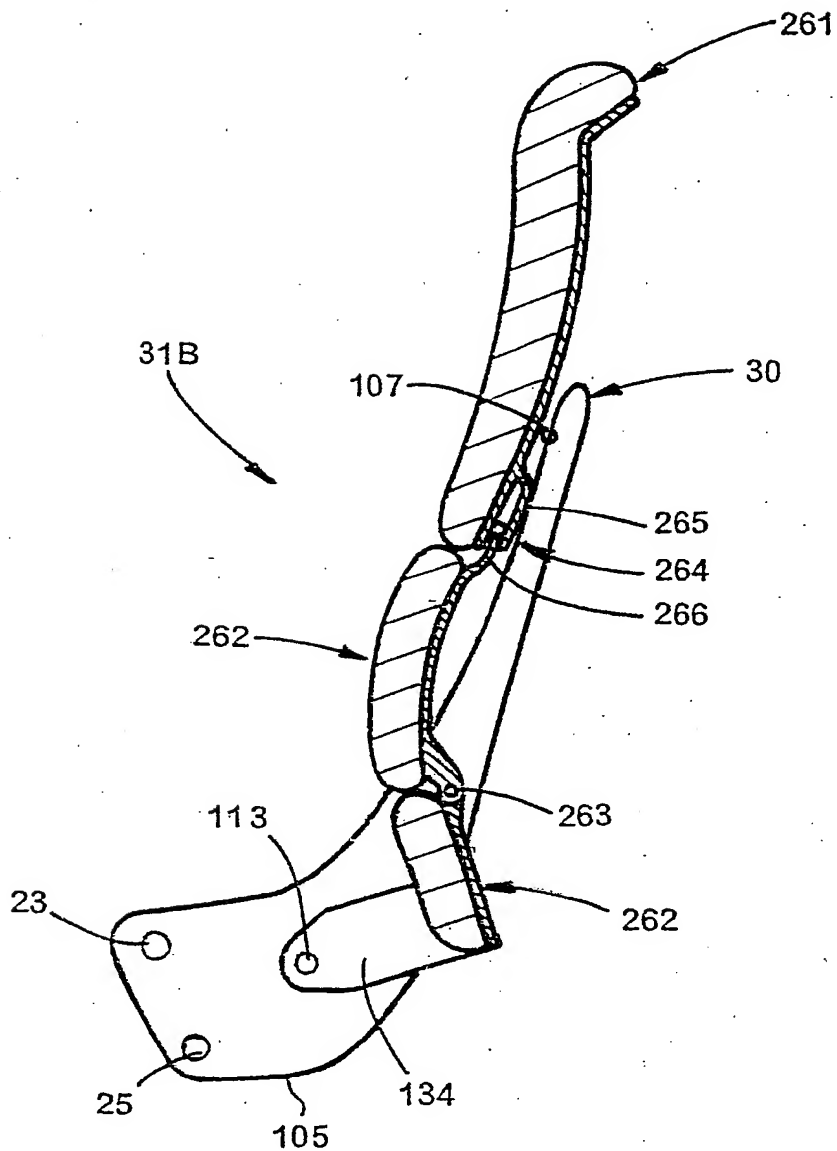
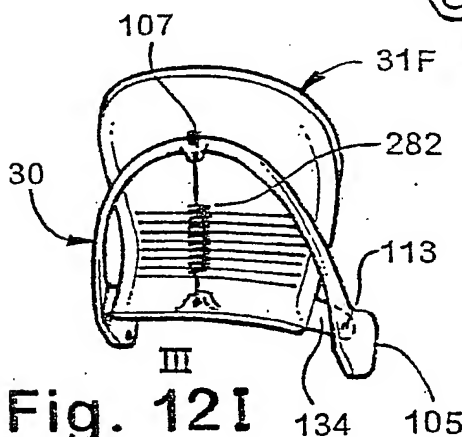
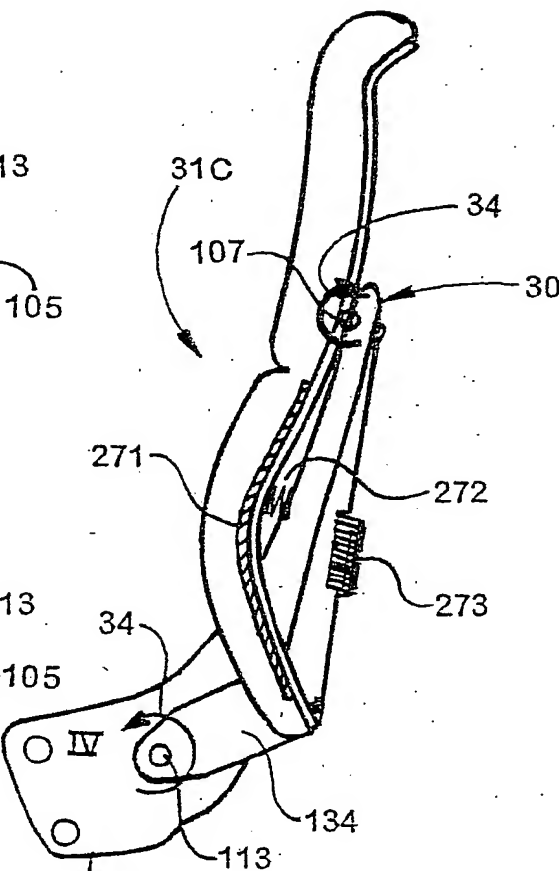
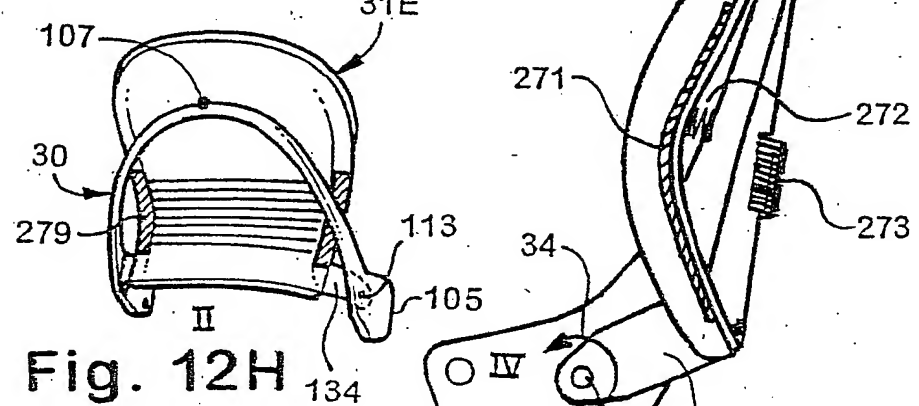
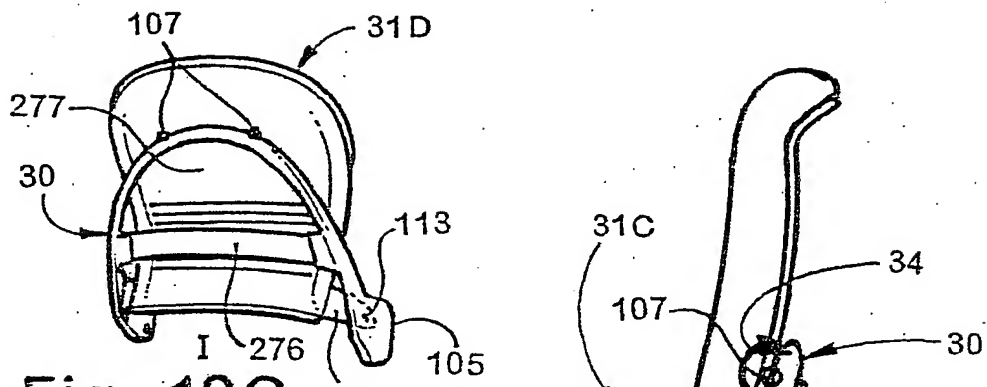
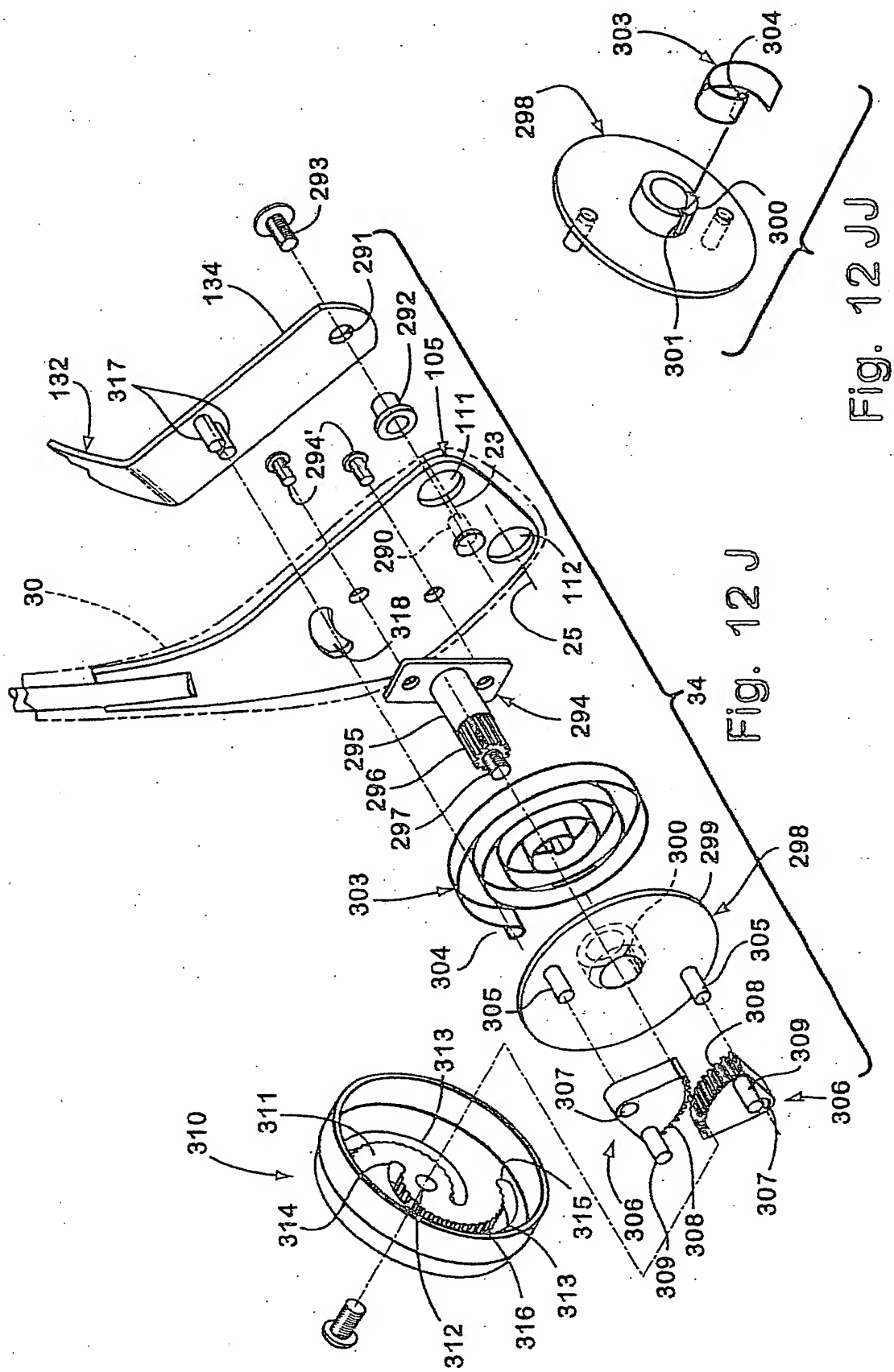
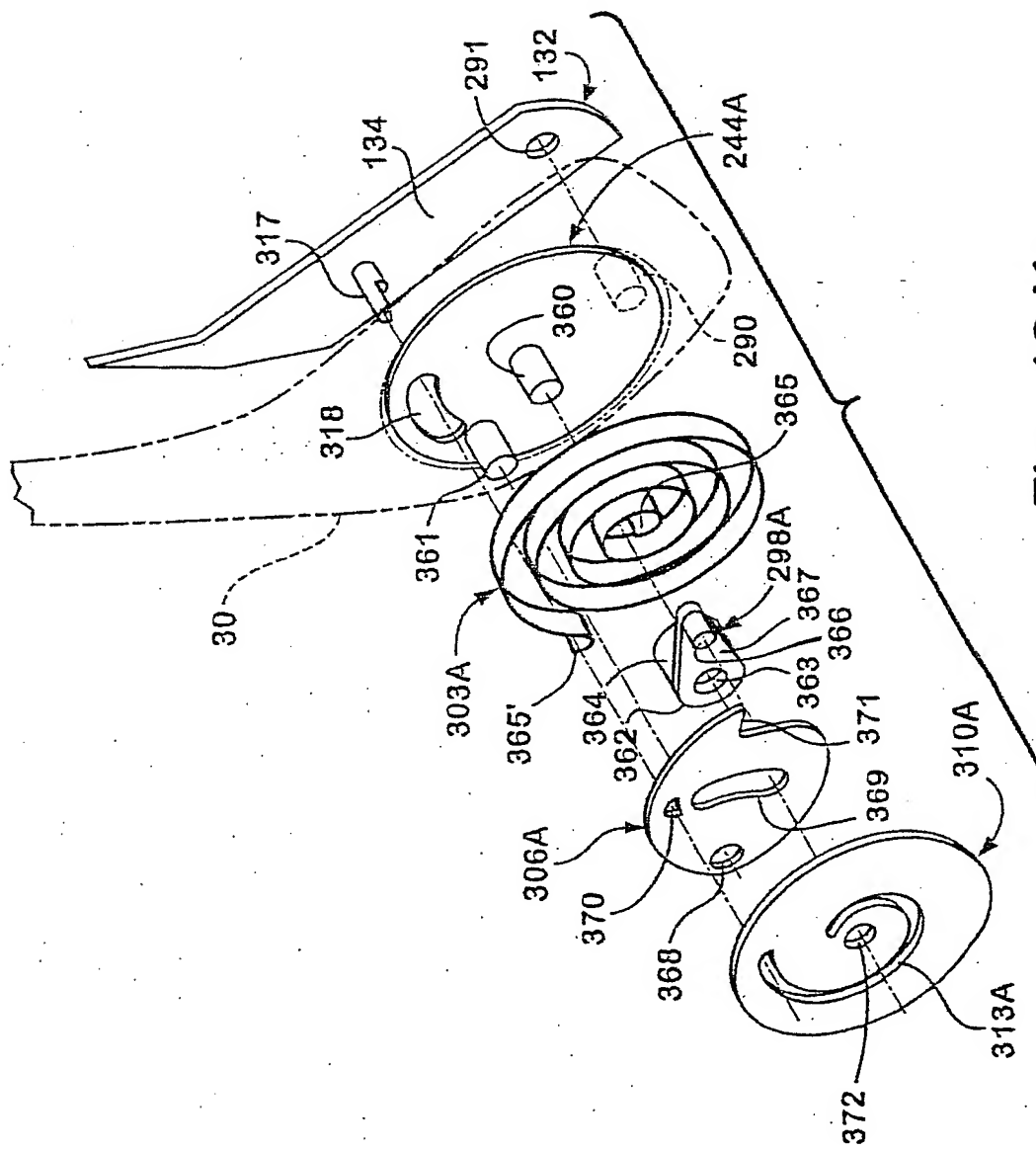


Fig. 12E







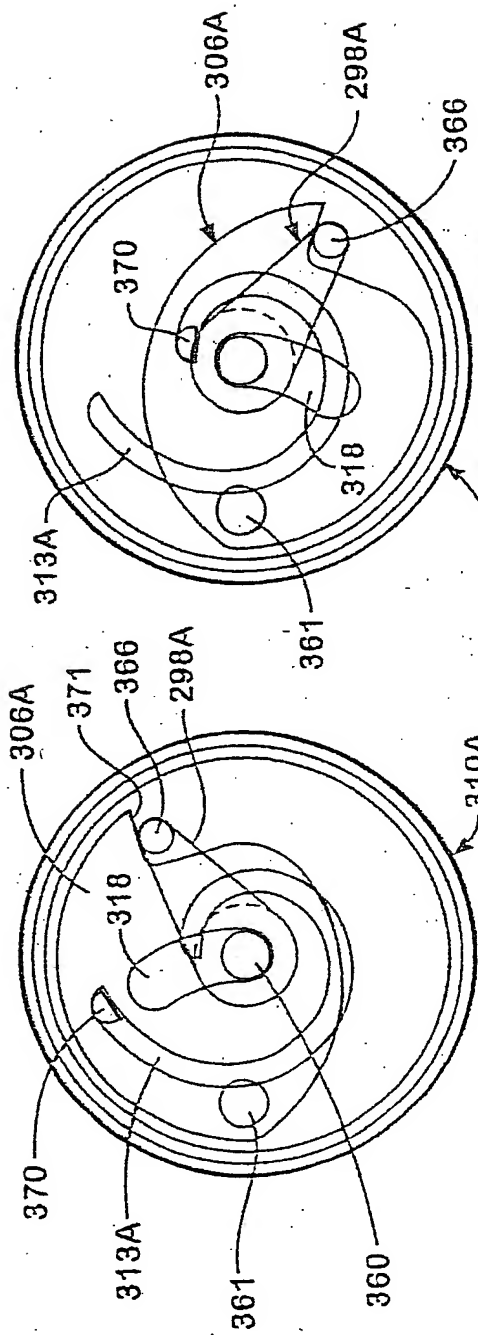


Fig. 12 L LOW TORQUE  
 310A Fig. 12 M HIGH TORQUE

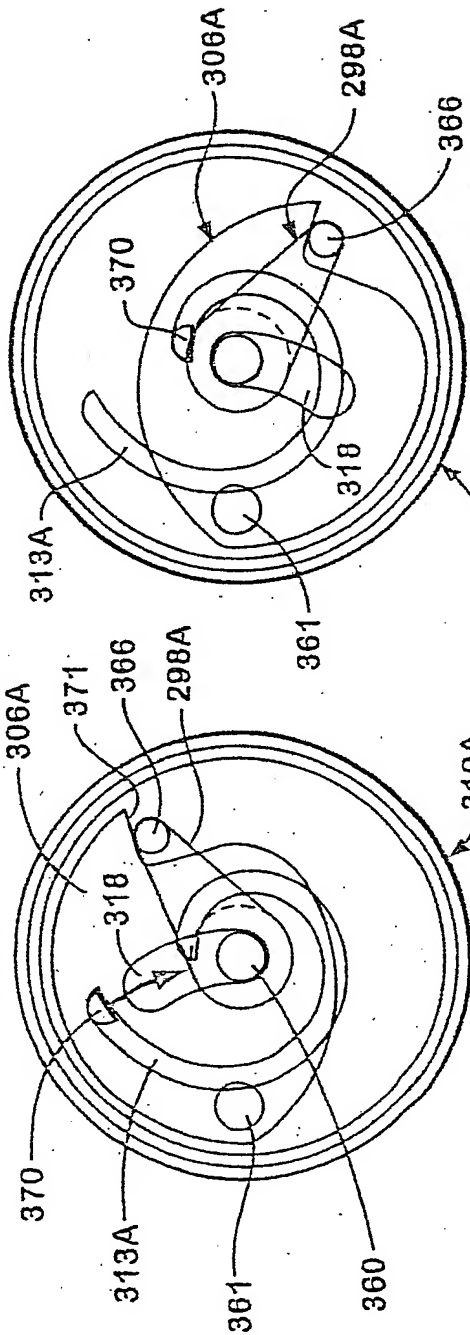


Fig. 12 LL 310A Fig. 12 MM 310A Fig. 12 MM 310A HIGH TORQUE LOW TORQUE

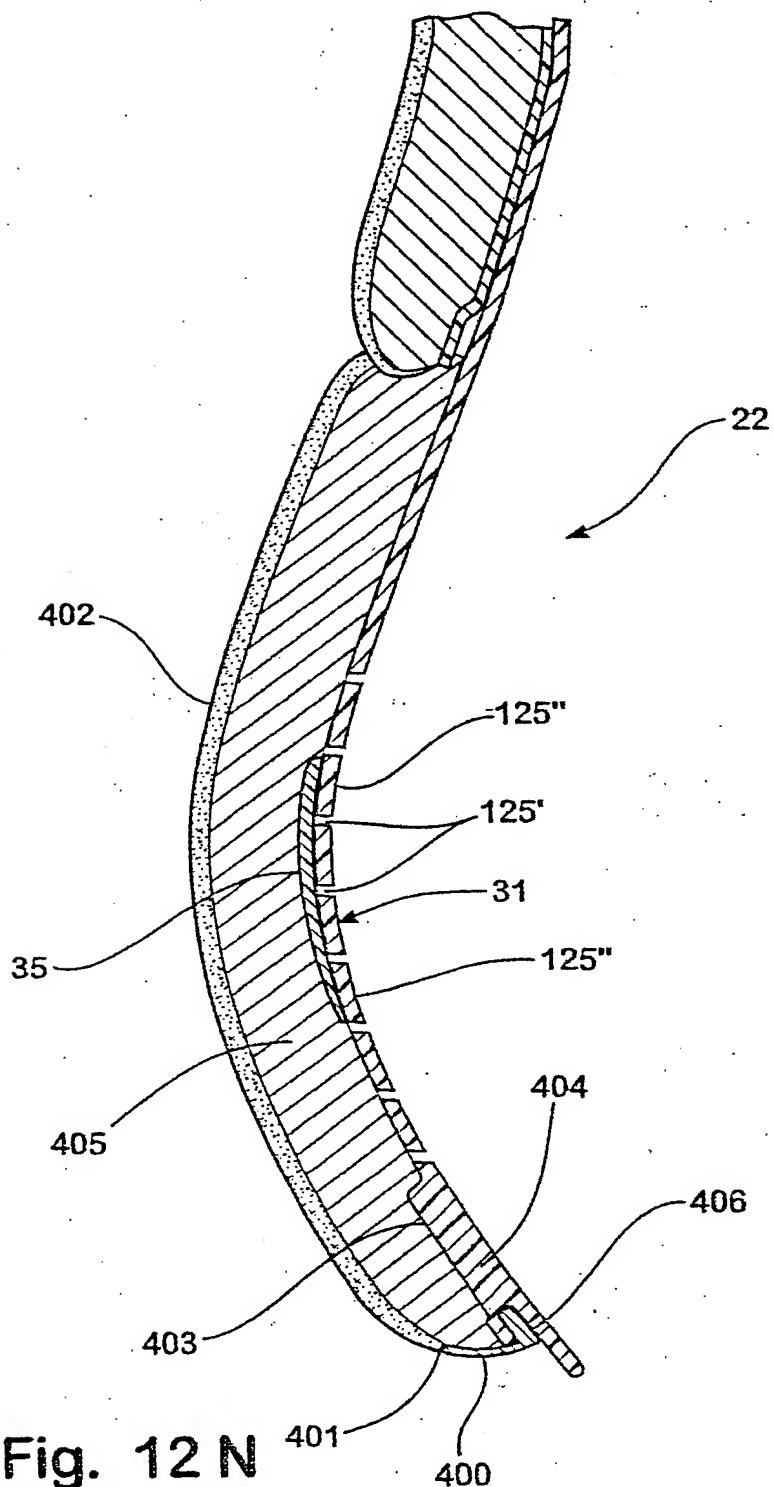


Fig. 12 N

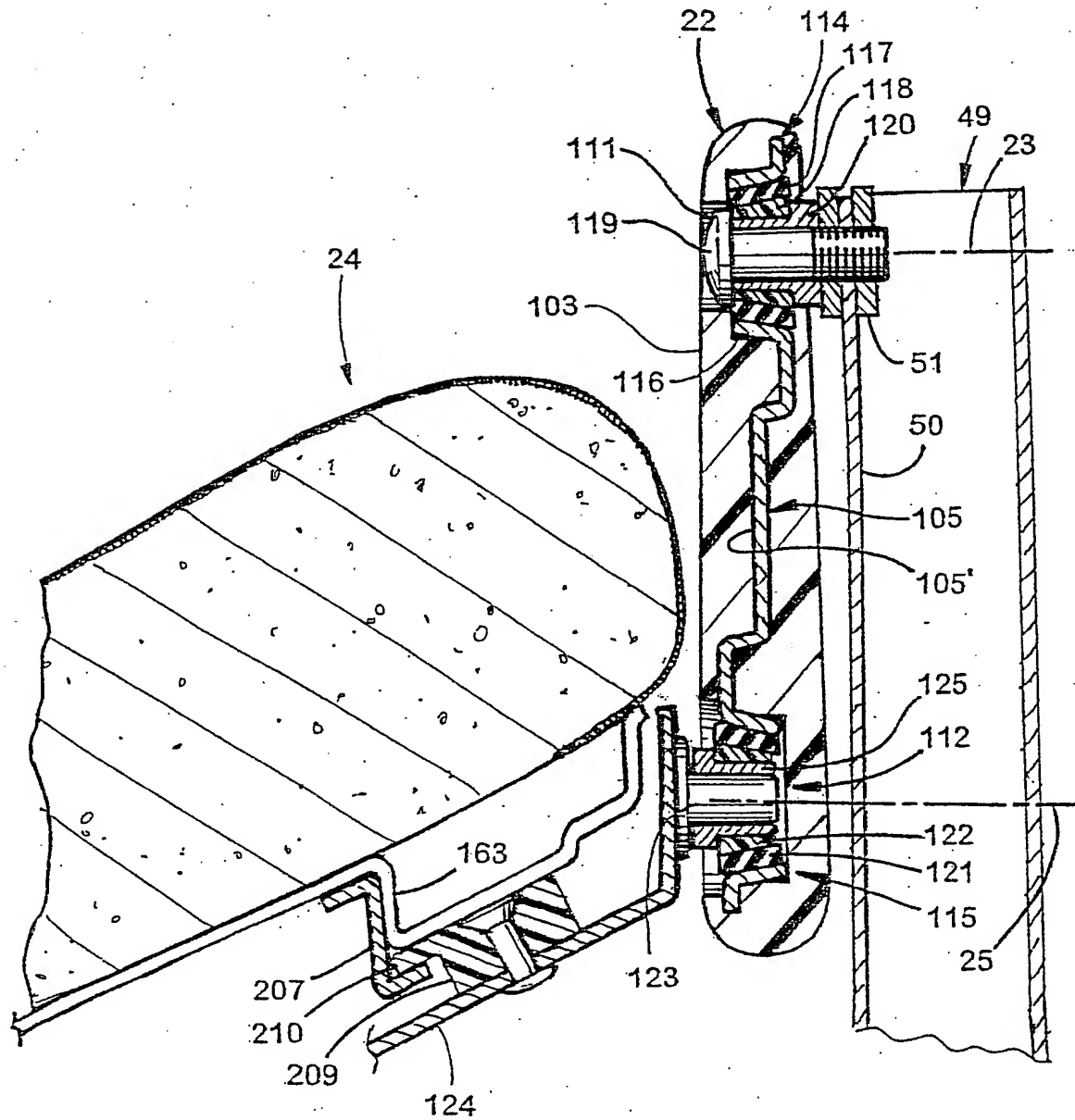


Fig. 13

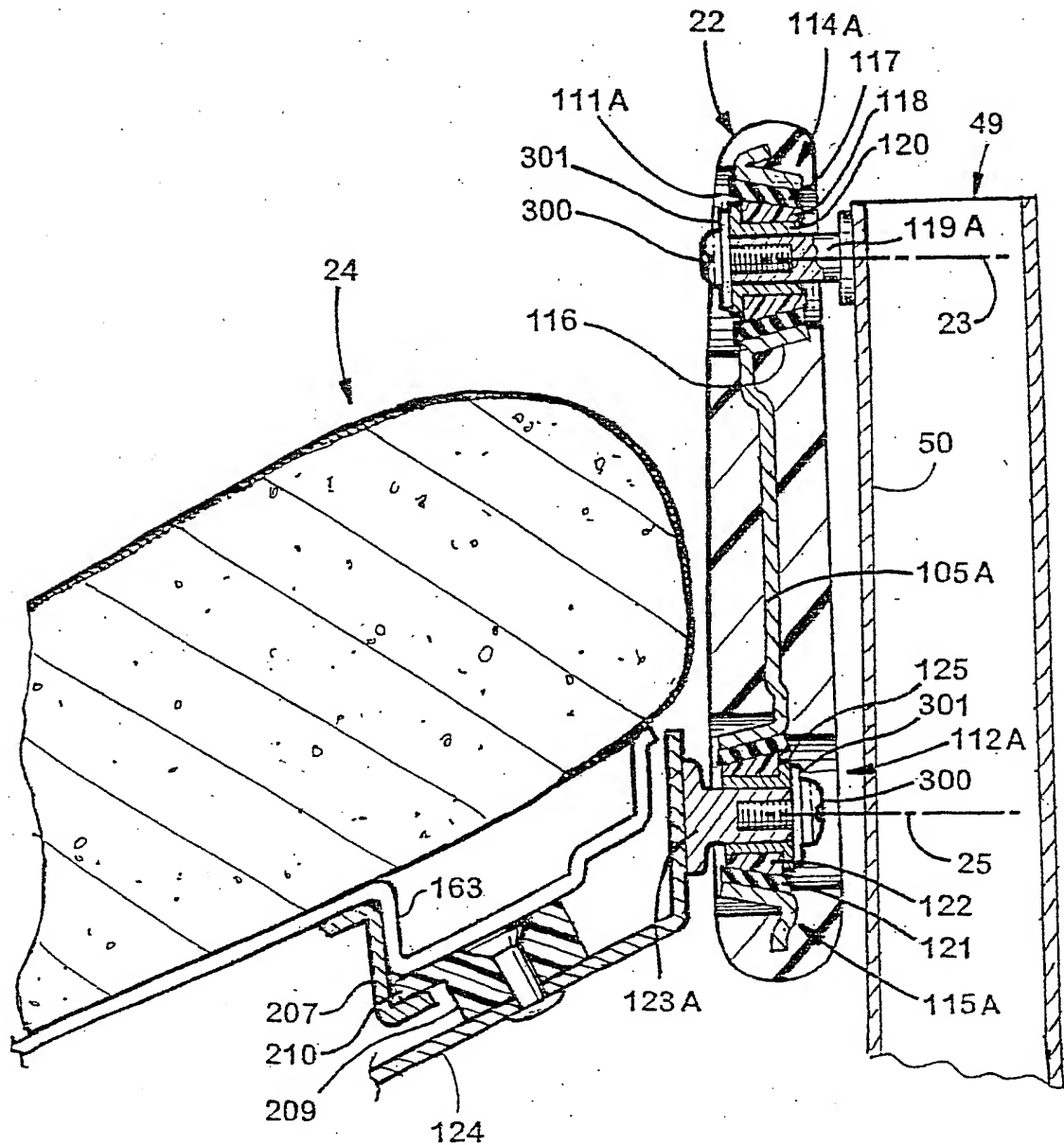


Fig. 13A

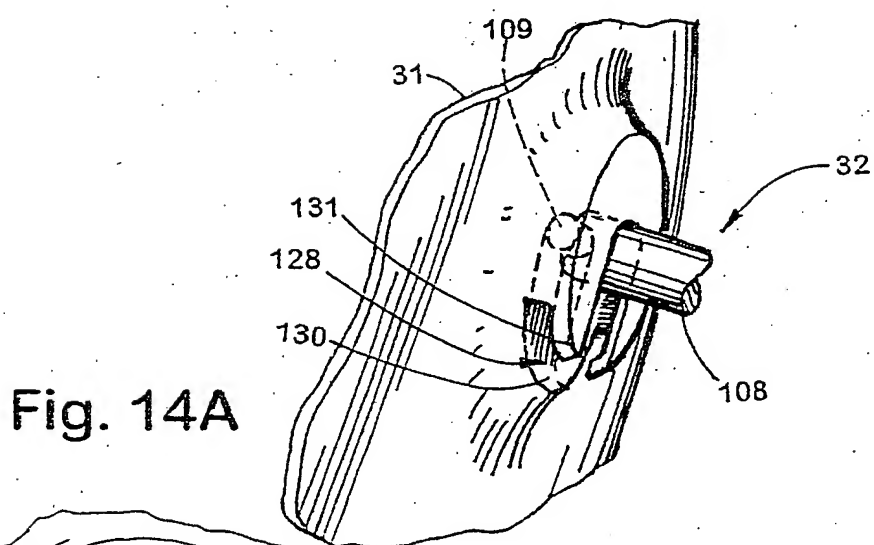


Fig. 14A

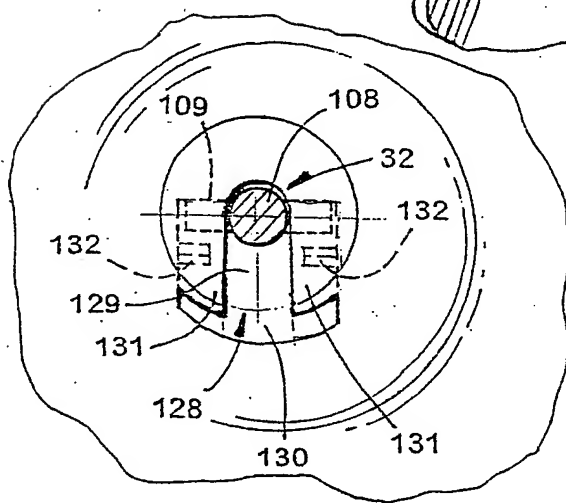


Fig. 14B

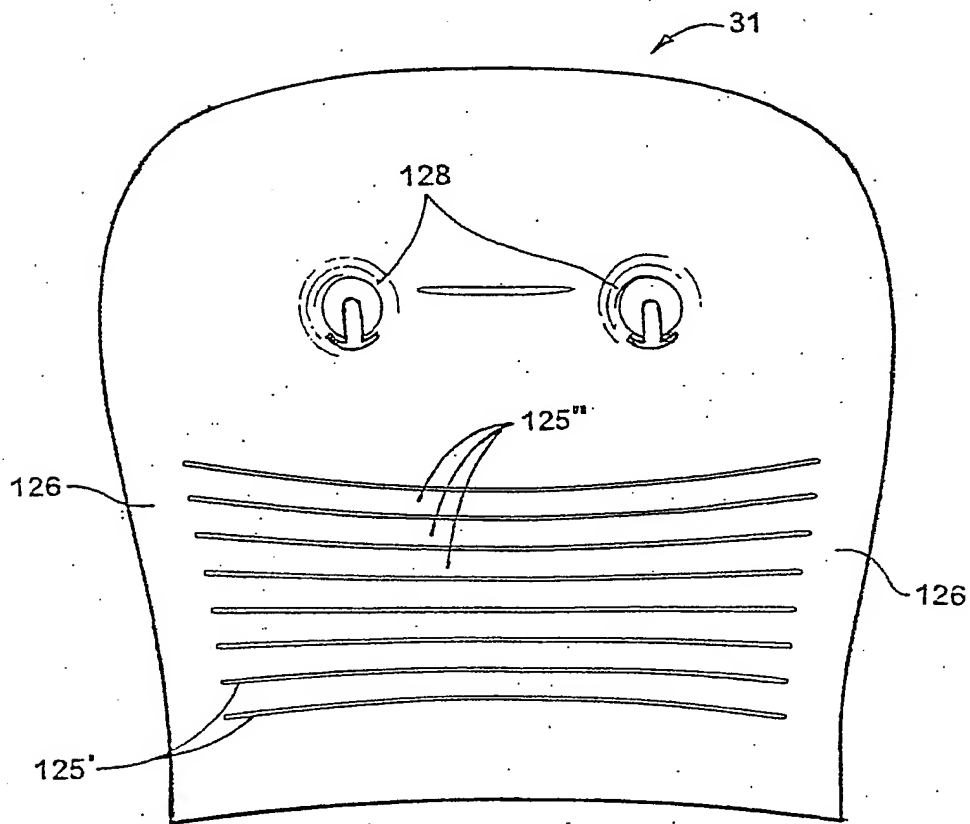


Fig. 15

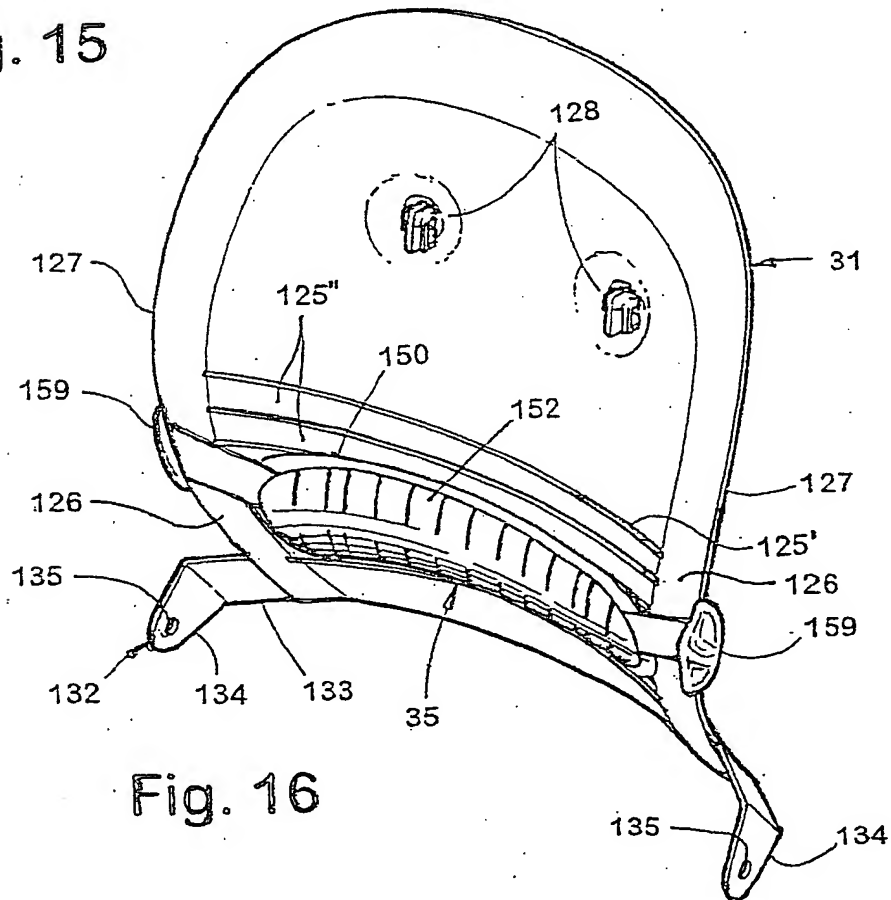


Fig. 16

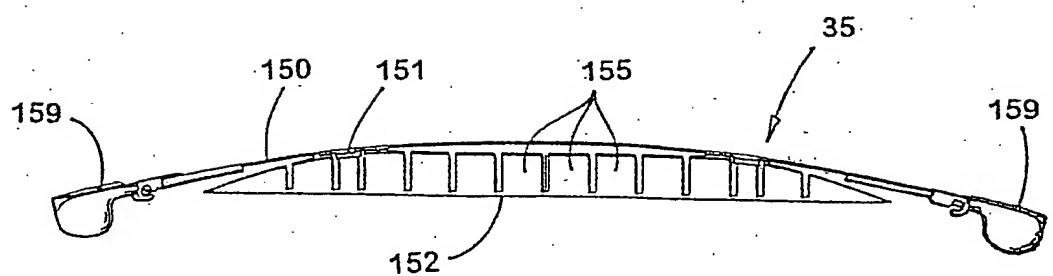


Fig. 17

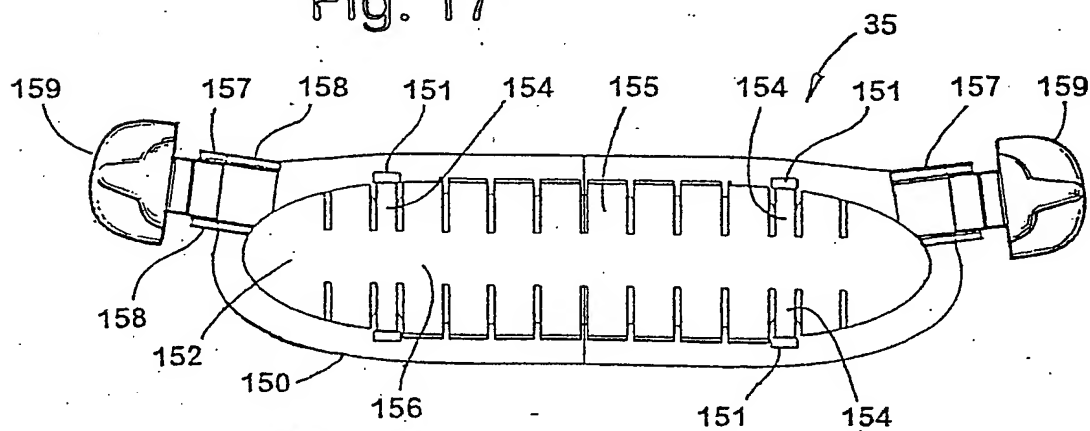


Fig. 18

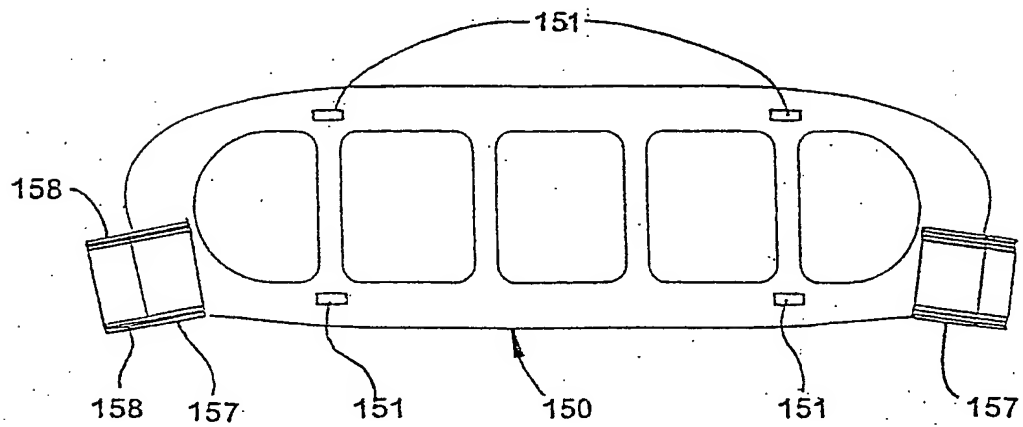


Fig. 19

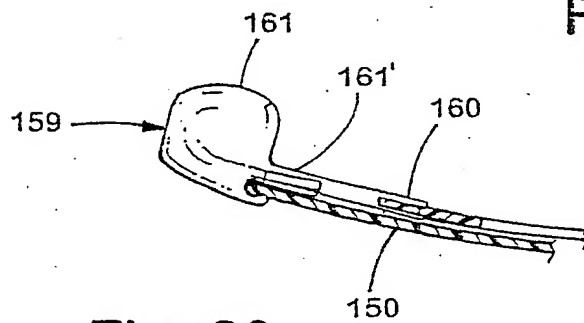


Fig. 20

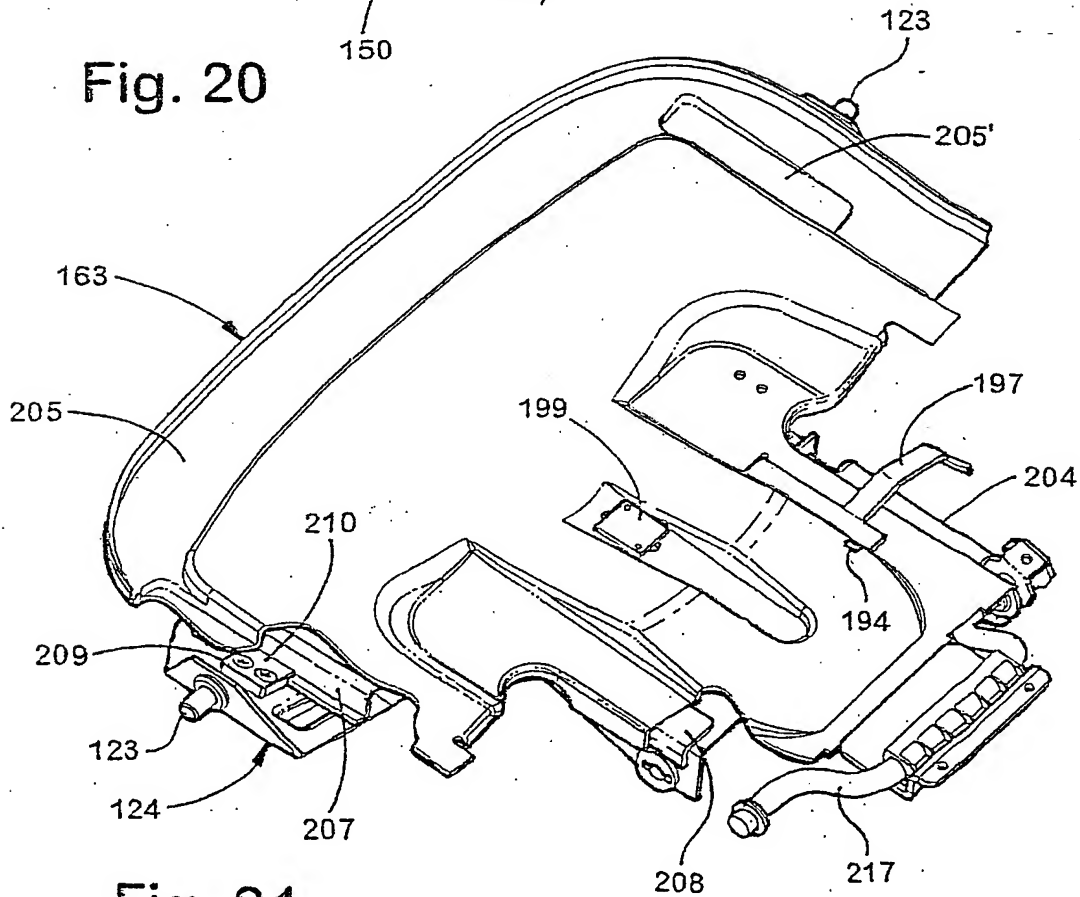


Fig. 21

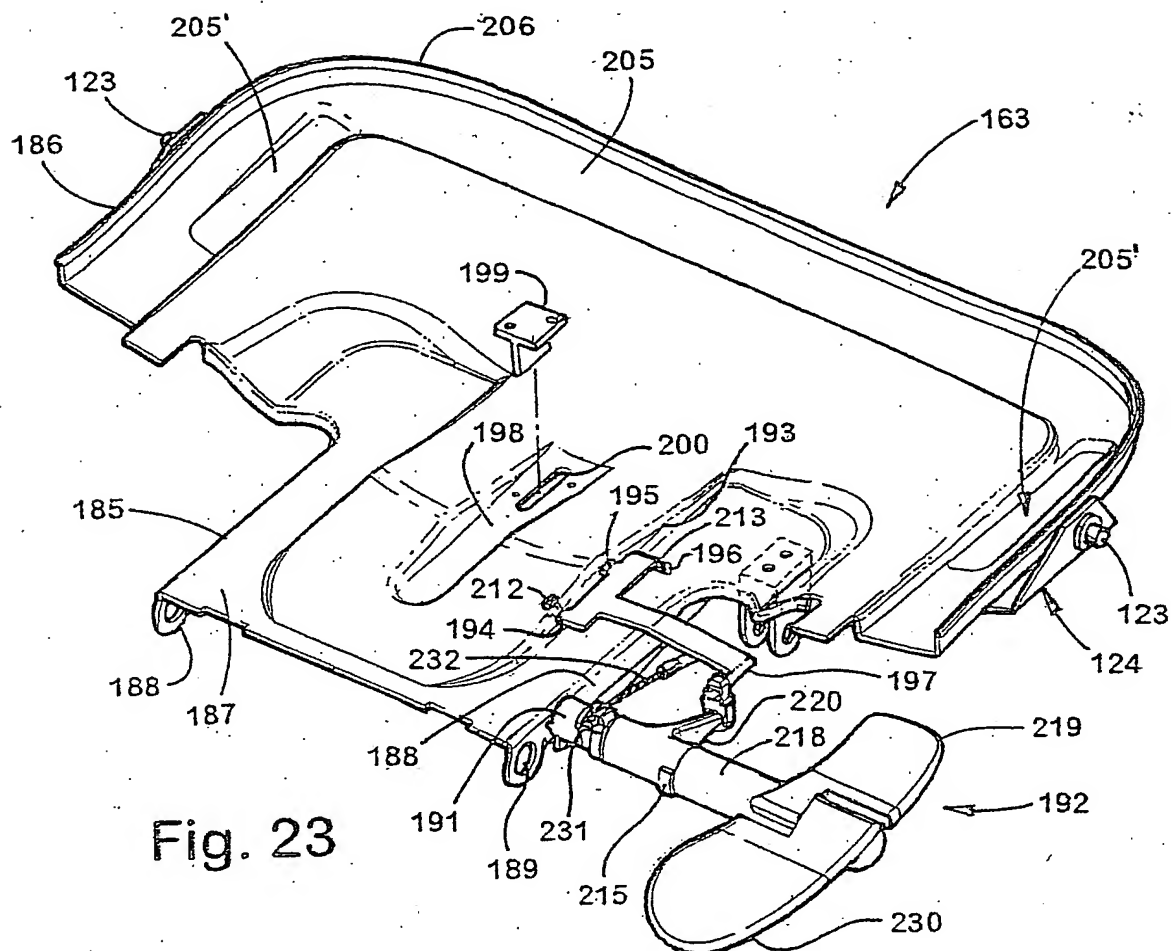


Fig. 23

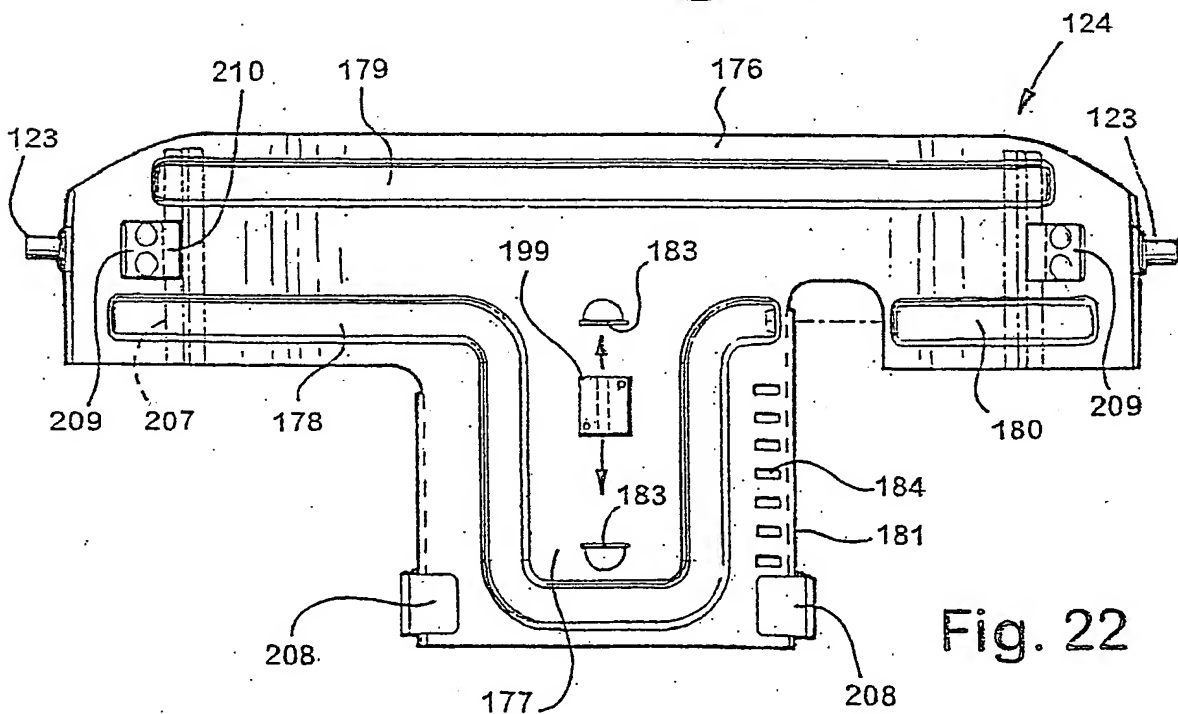


Fig. 22

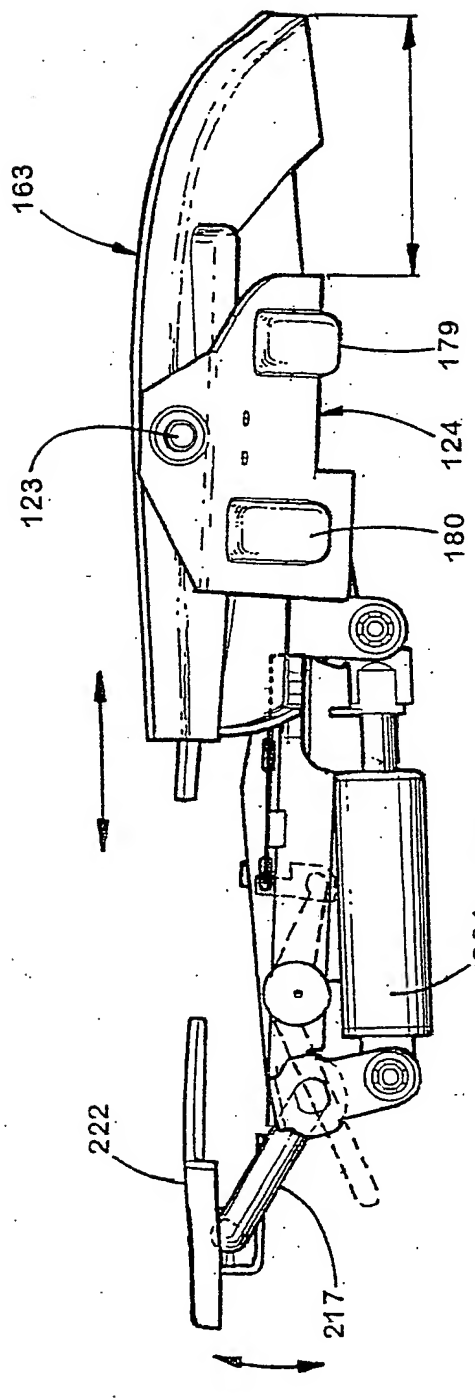


Fig. 24

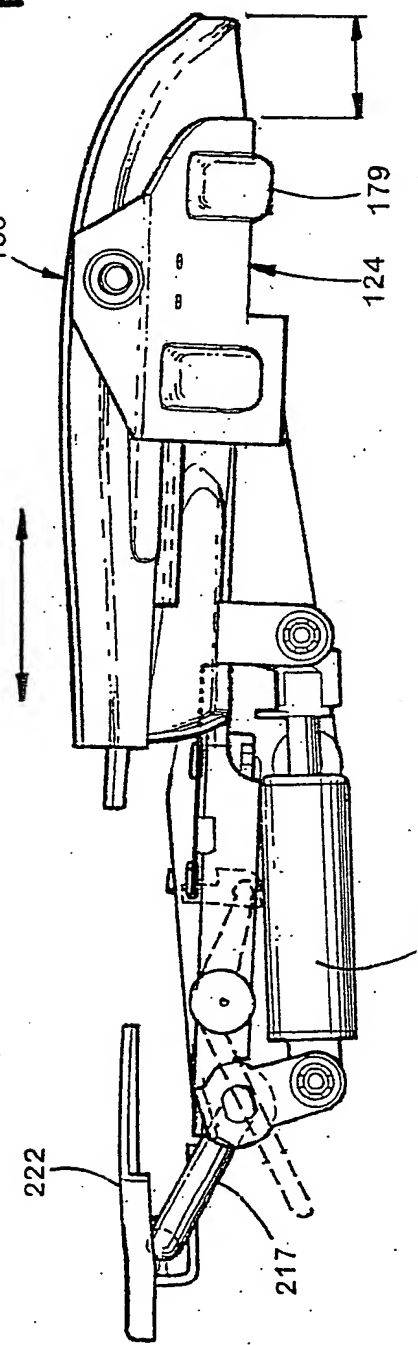


Fig. 25

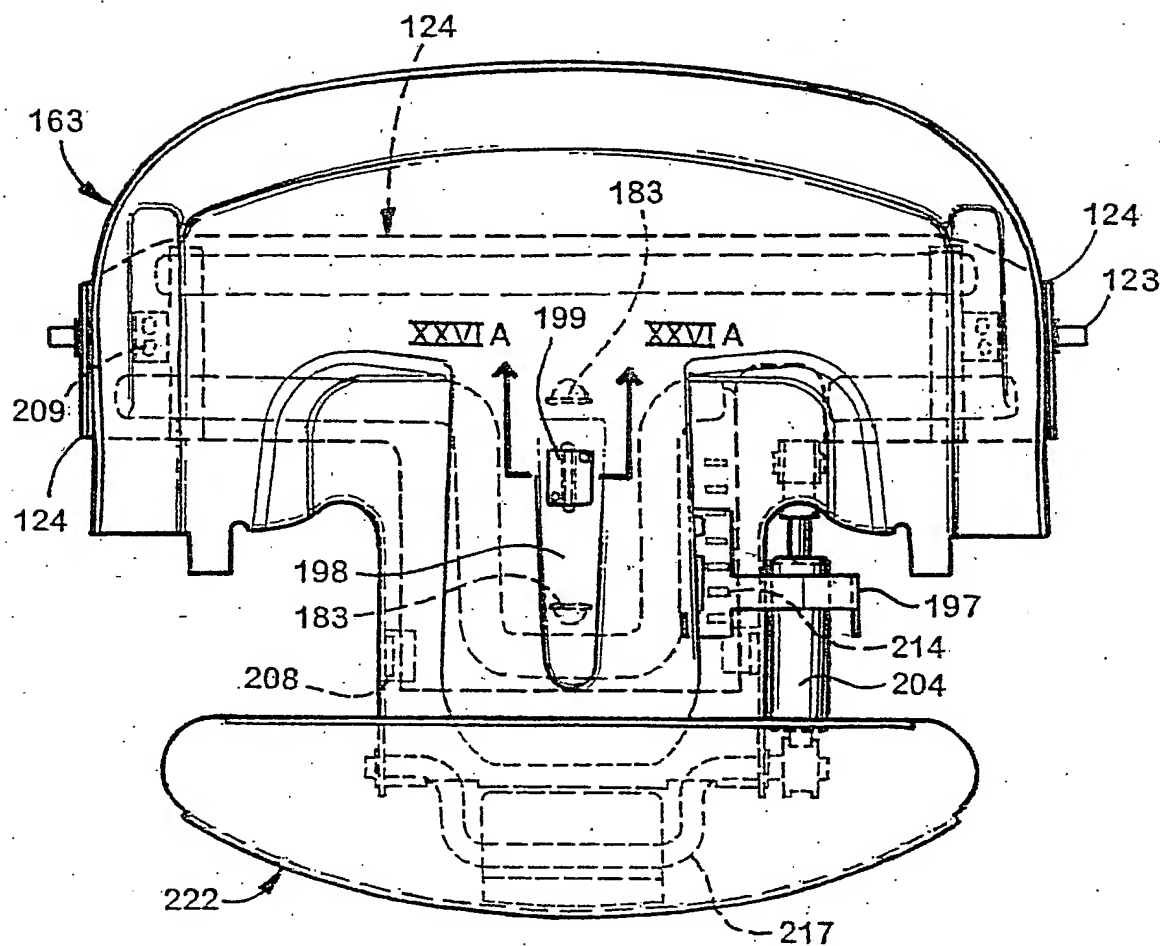


Fig. 26

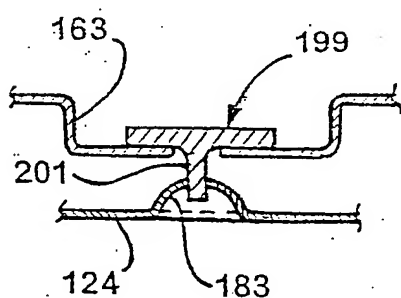


Fig. 26A

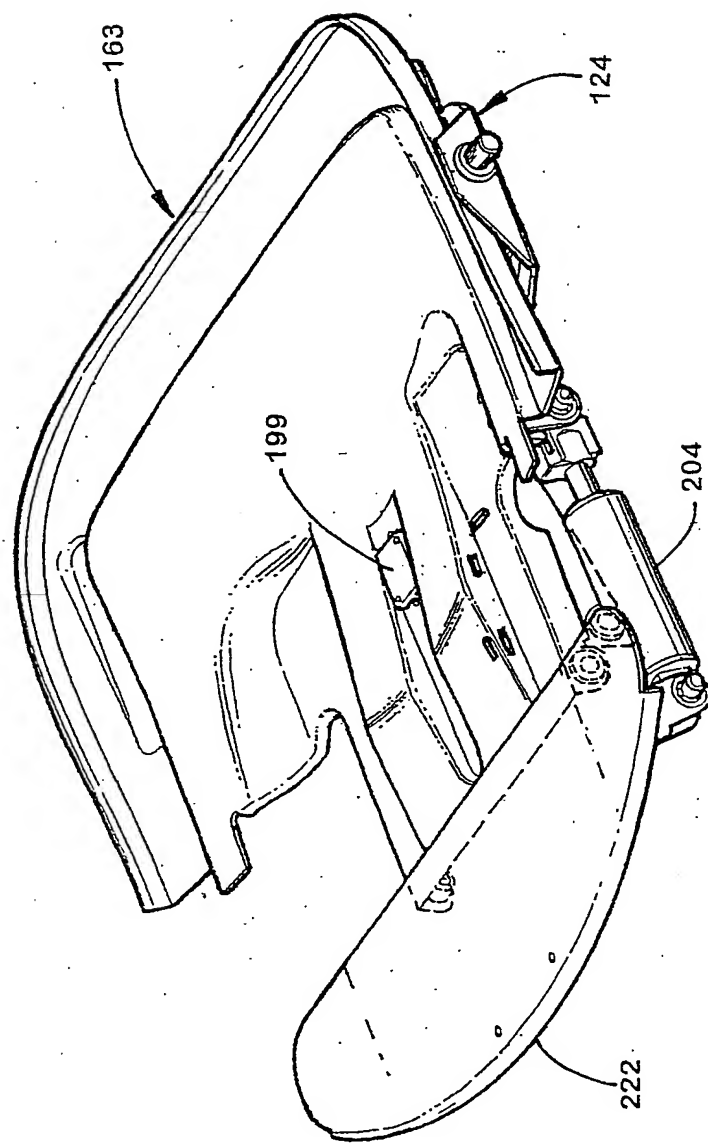


Fig. 27

